

1. TEMA DE PROIECTARE

Să se proiecteze un SISTEM MECANIC CU ȘURUBURI DE MIȘCARE pentru ridicarea unei sarcini axiale F , cu acționare manuală cu clichet vertical, ce realizează o cursă H , cu raportul K între înălțimile maximă și minimă.

1.1. Variante constructive:

- Cric simplu cu șurub
- *Cric* cu șurub telescopic / *cu dublă acțiune*
- Cric cu șurub și pîrghii
- Cric cu piuliță rotitoare
- Presă cu șurub
- Menghină cu șurub

1.2. Caracteristici tehnice (date inițiale de proiectare):

- *Sarcina de ridicat* $F =$ [kN]
- *Cursa de ridicare* $H =$ [mm]
- *Raport între înălțimi* $K = H_{\max} / H_{\min}$

2. MEMORIU DE PREZENTARE

Se întocmește la final, după realizarea calculelor de proiectare și a desenelor (de execuție și ansamblu) și trebuie să conțină:

- schema constructivă;
- modul de funcționare;
- compararea cu alte soluții similare din punct de vedere constructiv, funcțional, tehnologic, de exploatare, preț de cost, etc.;
- justificarea soluției adoptate (avantaje, dezavantaje);
- materiale utilizate;
- precizia de execuție;
- indicații de montaj, transport, exploatare, întreținere;
- prescripții NTSM.

2.1. Generalități

Transmisia șurub-piuliță reprezintă o cuplă tribologică filetată (elicoidală) cu mișcare de alunecare între spire, fiind utilizată la transformarea mișcării de rotație în translație și transmiterea sarcinilor.

În construcția de mașini, acest sistem mecanic este frecvent întâlnit datorită următoarelor *avantaje*:

- posibilitatea transmiterii sarcinilor mari ($10^3 - 10^4$ N);
- asigurarea condiției de autofrânare;
- funcționare silențioasă;
- simplitatea construcției și execuției;
- gabarit redus (compactitate);
- preț de cost scăzut.

Sistemele mecanice cu șurub de mișcare se utilizează în mai multe *variante constructive*:

1. piuliță fixă – șurub cu mișcare de rotație și translație **sRT**
Exemple: *cricuri, prese cu șurub*
2. șurub fix – piuliță cu mișcare de rotație și translație **pRT**
Exemple: *chei speciale de strângere*
3. șurub cu mișcare de rotație – piuliță de translație **sR-pT**
Exemple: *cricuri cu pârghii, mecanismele de avans ale mașinilor unelte, menghine*
4. piuliță de rotație – șurub de translație **pR – sT**
Exemple: *cric cu piuliță rotitoare.*

Formele constructive enumerate anterior depind atât de modul de ridicare a sarcinii cât și de modul de acționare a acestora.

Principalul *dezavantaj* al cuplei elicoidale cu alunecare între spire este randamentul scăzut (0,2 – 0,3), ceea ce justifică utilizarea acestora mai ales la acționarea manuală.

2.2. Schema constructivă și modul de funcționare

Variantele constructive de cric cu șuruburi (telescopic și cu dublă acțiune) au în componență *două cuple elicoidale șurub-piuliță* și se utilizează în cazurile când înălțimea de ridicare impusă are valori mari.

- **Cric cu șuruburi telescopic**

Cricul telescopic realizează înălțimea de ridicare doar în cupla elicoidală șurub secundar–piuliță fixă, cea de a doua cuplă elicoidală șurub principal–șurub secundar fiind folosită numai pentru apropierea șurubului principal de sarcină (acest șurub este de reglaj).

- **Cric cu dublă acțiune**

Această variantă constructivă se utilizează în cazurile când este necesară o ridicare rapidă, iar înălțimea și sarcina de ridicare impuse au valori mari.

Elementele constructive pentru cele două variante de cricuri prezentate (identice din punct de vedere structural) sunt: 1 – piesă de reazem, 2 – șurub principal (I), 3 – sistem de acționare (manivelă), 4 – șurub secundar (II), 5 – piuliță fixă, 6 – suport (corp).

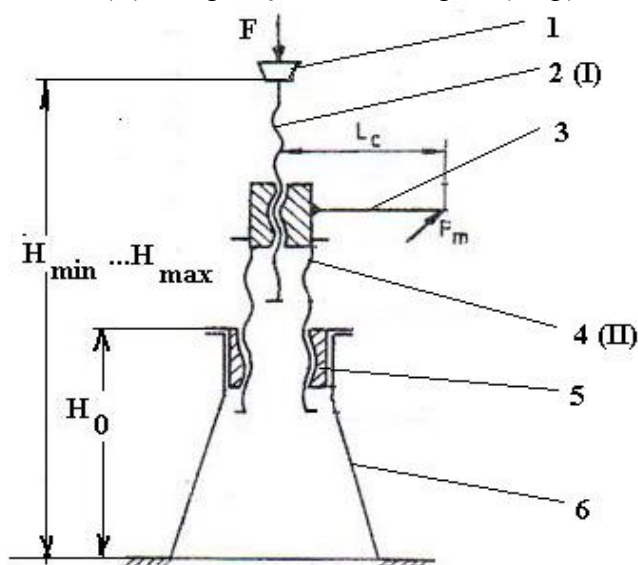


Fig. 1 – Schema constructivă pentru cricul cu șuruburi cu dublă acțiune

Particularități constructive:

a) Cricul cu șurub telescopic:

- piesa de reazem 1 și capul șurubului principal 2 formează o cuplă cu frecare axială de alunecare sau cu rostogolire (cu rulment axial);
- cursa de ridicare H este realizată în totalitate de șurubul secundar 4 (II), șurubul principal 2 (I) fiind utilizat numai pentru apropierea piesei de reazem 1 de sarcina de ridicat.

b) Cricul cu șuruburi cu dublă acțiune:

- piesa de reazem 1 este solidarizată de capul șurubului principal 2 având aceleași mișcări cu acesta;
- cursa de ridicare este obținută prin sumarea deplasării de translație pe cele două filete.

Datorită acestor diferențe constructive, *modul de funcționare* este puțin diferit, astfel:

- la **cricul cu șurub telescopic** – prin aplicarea unei forțe F_m asupra manivelei sistemului de acționare 3, solidar cu șurubul secundar 4, acesta se va roti împreună cu șurubul principal 2, cele două șuruburi I și II fiind solidarizate în cupla elicoidală CE_I (dacă $M_{tI} > M_f$). Astfel apar mișcări relative între capul șurubului principal 2 și piesa de reazem 1, respectiv între șurubul secundar 4 și piulița fixă 5.

- la **cricul cu șuruburi cu dublă acțiune** – prin aplicarea unei forțe F_m asupra manivelei sistemului de acționare 3, atașat șurubului secundar 4, acesta se va roti împreună cu piulița șurubului principal 2, cu care face corp comun, rezultând o mișcare de translație pe verticală pentru șurubul principal 2 și piesa de reazem 1 cu care este solidarizat. În acest fel apar mișcări relative și momente de torsiune în cele două cuple elicoidale:

- $CE_I - M_{tI}$ între spirele filetelor șurubului principal 2 și piuliței din șurubul secundar 4 ;
- $CE_{II} - M_{tII}$ între spirele filetelor șurubului secundar 4 și piuliței fixe 5.

2.3. Stabilirea încărcărilor elementelor constructive

Pe baza modului de funcționare, se pot stabili sarcinile care încarcă elementele componente (figura 2).

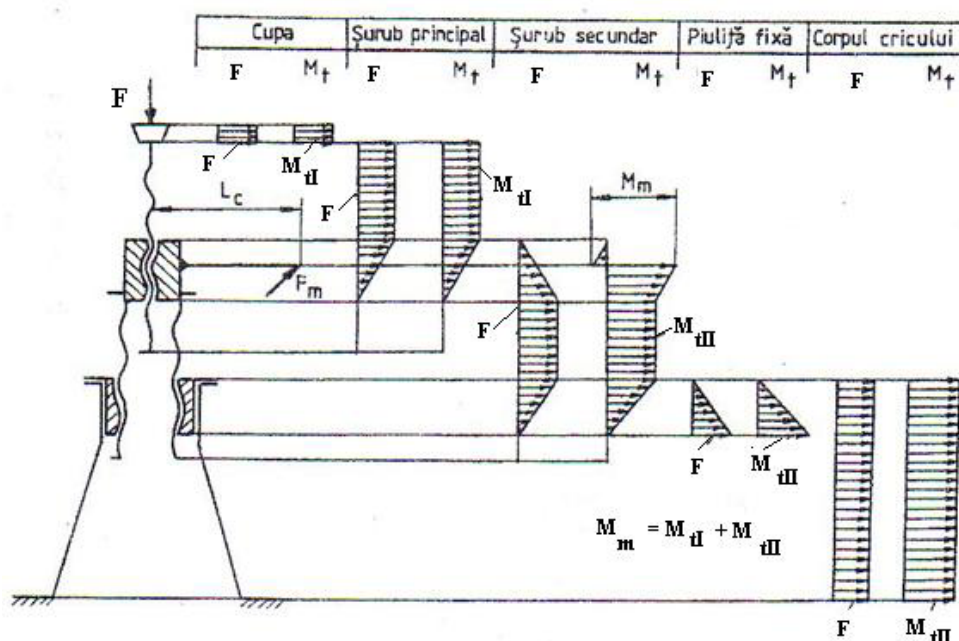


Fig. 2 – Încărcarea elementelor cricului cu dublă acțiune

La aceste două variante constructive de cricuri, sistemul de acționare trebuie să asigure un *moment motor* determinat cu relația:

$$M_m = F_m \cdot L_c \quad (2.1)$$

în care: F_m – forța dezvoltată la manivelă (de utilizator), L_c – lungimea manivelei (cu valori recomandate de proiectant).

Pentru calculul momentului motor se ține seama de momentele rezistente:

- la cricul cu șurub telescopic: $M_m = M_f + M_{tII}$ (2.2)

- la cricul cu dublă acțiune: $M_m = M_{tI} + M_{tII}$ (2.3)

2.4. Alegerea tipului de profil pentru filetele de mișcare

Cupla elicoidală șurub–piuliță este definită de **filetul** realizat pe suprafața exterioară a piesei cuprinse (șurubul) și pe suprafața interioară a piesei cuprinzătoare (piulița). În construcția de mașini acest tip de cuplă tribologică este folosit pentru:

- realizarea asamblărilor (filete de fixare);
- transformarea mișcării de rotație în translație (filete de mișcare);
- măsurarea elementelor liniare (filete de măsurare din componența instrumentelor de măsurare);
- reglarea poziției relative (filete de reglare).

Filetele de mișcare se generează numai pe suprafețe cilindrice în sistemul de măsurare metric. *Clasificarea* acestor tipuri constructive de filete se face după mai multe *criterii* cum sunt: forma profilului generator, mărimea pasului, numărul de începuturi, sensul de înfășurare a spirei. Pentru funcția de mișcare se utilizează filetele cu profil pătrat, trapezoidal, fierăstrău și rotund, iar pentru îmbunătățirea randamentului cuplei se pot realiza filete cu mai multe începuturi.

Alegerea profilului filetelui se face după mai multe *criterii*:

- caracterul sarcinii transmise (statică, variabilă);
- mărimea încărcării preluată de cupla filetată
- sensul de transmitere a încărcării (unul sau ambele);
- condițiile de funcționare (șocuri);
- randament.

Pe baza analizei avantajelor și dezavantajelor realizate de cele trei tipuri constructive de filete pentru șuruburile de mișcare este recomandat **filetul cu profil trapezoidal** cu *elementele geometrice* definite în **STAS 2114/1,2,3-75** (figura 3).

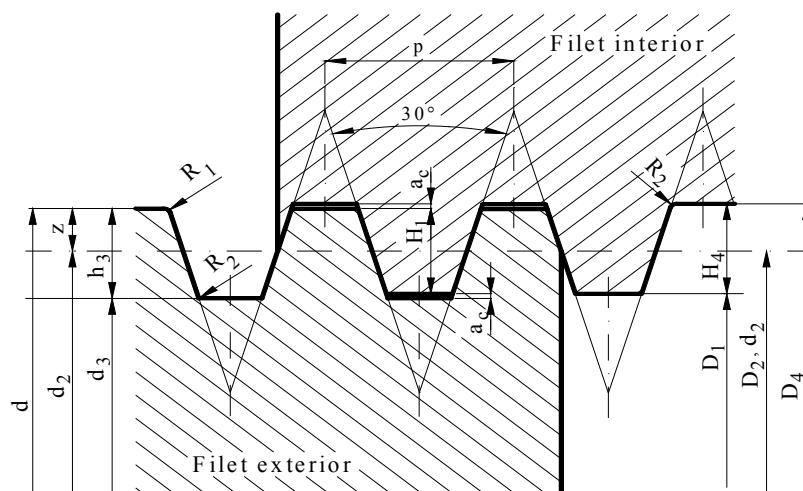


Fig. 3 – Geometria filetelui cu profil trapezoidal

Avantajele acestui tip de filet sunt: rezistență și rigiditate mai mare, asigură o centrare mai bună între șurub și piuliță, elimină jocul axial creat în urma uzării flancurilor. *Dezavantajul* este randamentul mai mic decât la filetul cu profil pătrat. Se recomandă la transmiterea sarcinilor mari și care acționează în ambele sensuri.

2.5. Stabilirea materialelor pentru elementele constructive

Alegerea materialelor pentru elementele constructive ale cuplei elicoidale trebuie să răspundă condițiilor generale impuse transmisiilor mecanice și anume: rezistență, randament ridicat, fiabilitate și durabilitate.

Șuruburile de mișcare se execută din *oțel de uz general pentru construcții* (**Tabelul 1.21**) pentru cazul acționării manuale, respectiv *oțeluri carbon de calitate* tratate termic (**Tabelul 1.22**) la acționarea mecanică.

Piulița fixă se execută în general din *materiale antifricțiune* (pentru diminuarea frecării și uzării în timpul funcționării). Pentru piulițele fixe (la cricurile telescopice, cu dublă acțiune, prese) se folosesc *fonte cenușii* (**Tabelul 1.25**) sau *aliaje de tip Cu-Sn* (**Tabelul 1.26**). Când piulițele au forme speciale (cu bolțuri – la cricurile cu pârghii, piulița este corp comun cu roata de clichet – la cricul cu piuliță rotitoare) se recomandă *oțelurile de uz general pentru construcții* (**Tabelul 1.21**) sau *oțelurile carbon de calitate* (**Tabelul 1.22**).

Suportul (corpul) cricului se execută fie **în construcție turnată**, materialele recomandate fiind *oțelurile turnate* (**Tabelul 1.23**) sau *fontele cenușii* (**Tabelul 1.25**), fie **în construcție sudată** din *oțeluri de uz general pentru construcții* (**Tabelul 1.21**). Alegerea variantei constructive (turnată sau sudată) se face în funcție de seria de fabricație.

Piesa de reazem (cupa) care susține sarcina axială ce trebuie ridicată se execută **în construcție turnată** din *oțel turnat* (**Tabelul 1.23**) sau din *fontă cenușie* (**Tabelul 1.25**) sau se obține **prin prelucrări mecanice** din *oțel de uz general pentru construcții* (**Tabelul 1.21**).

Clichetul (orizontal sau vertical) se execută din *tablă din oțel* prin prelucrări mecanice.

Manivela se execută **în construcție turnată**, cu prelucrări mecanice ulterioare, din *oțel turnat* (**Tabelul 1.23**) sau din *fontă cenușie* (**Tabelul 1.25**) sau **în construcție sudată** pentru care se recomandă *oțel de uz general pentru construcții* (**Tabelul 1.21**).

Pentru calculul organologic al elementelor constructive din componența sistemelor mecanice de ridicat se utilizează caracteristicile mecanice ale materialelor indicate în anexele menționate anterior.

3. MEMORIU JUSTIFICATIV DE CALCUL

Acesta cuprinde **calcule de rezistență** (dimensionare și verificare) pentru fiecare organ de mașină din componența sistemului mecanic proiectat – pe baza solicitărilor rezultate din analiza schemelor de încărcare – și **stabilirea formei constructive a ansamblului**.

3.1. Proiectarea șurubului principal

3.1.1. Alegerea materialului

Deoarece șurubul principal este solicitat la compresiune și funcționează în condiții de mediu cu impurități (praf), se recomandă utilizarea următoarelor matriale: *oțel carbon de uz general OL 37, OL 42, OL 50* (STAS 500-80) sau *oțel carbon de calitate OLC 45* (STAS 880-80). Acestea au caracteristici mecanice corespunzătoare funcționării cuplei elicoidale, au prelucrabilitate bună și sunt ieftine (**Tabelul 1.21**, **Tabelul 1.22**).

3.1.2. Predimensionarea

Determinarea diametrului minim (interior) al filetului trapezoidal d_3 pentru șurubul principal se face din condiția de stabilitate la flambaj cu un coeficient de siguranță admisibil c_a adoptat.

Folosind pentru proiectare metoda coeficientului de siguranță, se definește *coeficientul de siguranță efectiv* la flambaj cu relația:

$$c_f = \frac{F_{cf}}{F} \geq c_{af} \quad (3.1)$$

în care: F_{cf} - forța critică de flambaj; F – forța efectivă (sarcina de ridicare).

Coeficientul admisibil la solicitarea de flambaj se adoptă în funcție de poziția de funcționare a cuplei elicoidale: pentru șurub vertical se recomandă $c_{af} = 3 \dots 5$.

Întrucât nu se poate aprecia de la început în ce domeniu de **flambaj** se va situa bara după dimensionare, se consideră că acesta are loc **în domeniu elastic**, *forța critică de flambaj* fiind dată de relația lui Euler determinată cu metoda statică:

$$F_{cf} = \frac{\pi^2 \cdot E \cdot I_{\min}}{l_f^2} \quad (3.2)$$

în care: E – modulul de elasticitate longitudinal al materialului șurubului;

I_{\min} - momentul de inerție axial al secțiunii transversale;

l_f - lungimea de flambaj.

Pentru *modulul lui Young* se adoptă valoarea cunoscută pentru oțel $E = 2,1 \times 10^5$ MPa.

Momentul de inerție minim este dat de relația:

$$I_{\min} = \frac{\pi \cdot d_3^4}{64} \quad [\text{mm}^4] \quad (3.3)$$

pentru secțiunea circulară a șurubului principal cu diametrul minim.

Lungimea de flambaj l_f se stabilește cu o relație de forma:

$$l_f = K_f \cdot l \quad (3.4)$$

unde: K_f – coeficient ales în funcție de modul de rezemare a șurubului;

l – lungimea efectivă.

Considerând ansamblul format din cele două șuruburi (principal și secundar) ca o grindă dreaptă, pot exista cele patru **cazuri de rezemare** stabilite de Rezistența materialelor ca în figura 4:

- | | |
|--|--------------|
| I – bară încastrată la un capăt și liberă la celălalt | $K_f = 2;$ |
| II – bară articulată la ambele capete | $K_f = 1;$ |
| III – bară încastrată la un capăt și articulată la celălalt | $K_f = 0,7;$ |
| IV – bară încastrată a ambele capete | $K_f = 0,5.$ |

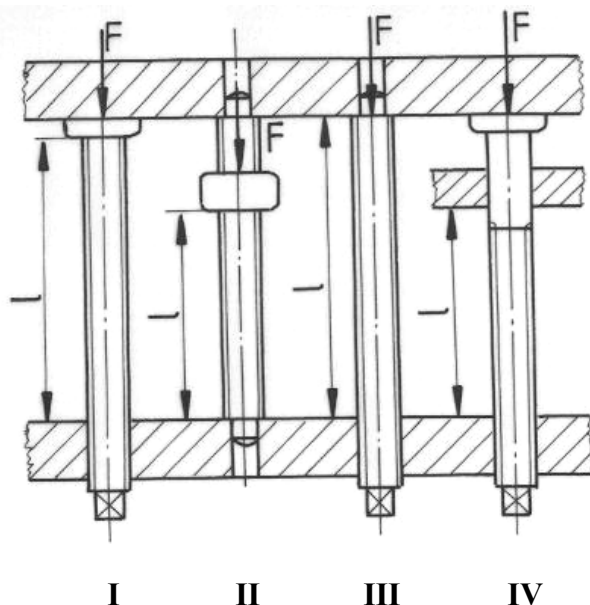


Fig. 4 – Tipuri de rezemare a șuruburilor de mișcare

Particularizări:

- **cazul I** – cric cu șuruburi cu dublă acțiune;
- **cazul II** – cric cu șurub și pârghii cu o piuliță;
- **cazul III** – cric simplu, cric cu șuruburi telescopic;
- **cazul IV** – cric cu șurub și pârghii cu două piulițe, cric cu piuliță rotitoare, presă cu șurub pentru extragerea inelelor de rulmenți.

Lungimea efectivă a șuruburilor în cazul cel mai defavorabil - când realizează înălțimea maximă (vezi figura 1):

$$l = H_{\max} - H_0 \quad (3.5)$$

se determină în funcție de relațiile care se pot scrie între lungimea cursei și înălțimile de ridicare realizate de ansamblul cricului.

Cursa de lucru este definită ca distanța între cele două poziții extreme ale ansamblului (coborât, ridicat) dată de:

$$H = H_{\max} - H_{\min} \quad (3.6)$$

Între înălțimile de ridicare se impun următoarele relații:

$$H_{\max} = K \cdot H_{\min} \quad (3.7)$$

în care se alege valoarea pentru coeficientul $K = 1,75 \dots 1,8;$

$$H_{\min} = H_0 + HA \quad (3.8)$$

unde: $HA = 50 \dots 65$ mm.

Având cursa de lucru H ca dată inițială, alegând valorile pentru coeficientul K și cota HA pentru montarea, pe șurubul secundar, a elementelor care participă la acționarea sistemului de ridicare, se determină, în ordine înălțimile:

$$H_{\min} = \frac{H}{K-1} \quad (3.9)$$

$$H_{\max} = \frac{K}{K-1} \cdot H \quad (3.10)$$

$$H_0 = H_{\min} - HA \quad (3.11)$$

lungimile efectivă l și de flambaj l_f cu relațiile (3.5), respectiv (3.4).

Înlocuind relațiile (3.2) și (3.3) în inegalitatea (3.1) se deduce:

$$d_3 \geq \sqrt[4]{\frac{64 \cdot c_{af} \cdot F \cdot l_f^2}{\pi^3 \cdot E}} \quad [\text{mm}] \quad (3.12)$$

Valoarea calculată a diametrului minim necesar pentru șurubul principal se rotunjește la o **valoare superioară**, notată d_{3I} **standardizată**, corespunzătoare tipului de profil de filet adoptat (pentru filet trapezoidal din **Tabelul 2.3**).

Verificarea corectitudinii utilizării relației lui Euler (determinarea domeniului în care are loc flambajul șurubului principal) se face determinând *coeficientul de sveltețe*:

$$\lambda = \frac{l_f}{i_{\min}} \quad (3.13)$$

unde: i_{\min} – raza de girație minimă a secțiunii transversale este dată de:

$$i_{\min} = \sqrt{\frac{I_{\min}}{A_{\min}}} \quad [\text{mm}] \quad (3.14)$$

cu I_{\min} și A_{\min} calculate funcție de diametrul d_{3I} ales anterior cu relațiile:

$$I_{\min} = \frac{\pi \cdot d_{3I}^4}{64} \quad (3.15)$$

$$A_{\min} = \frac{\pi \cdot d_{3I}^2}{4} \quad (3.16)$$

Funcție de valoarea calculată a coeficientului de sveltețe se pot evidenția patru situații diferite astfel:

- $\lambda \geq \lambda_0$ – *flambajul este elastic* (bara flambează înainte ca legea lui Hooke să-și piardă valabilitatea), iar pentru calculul stabilității la flambaj se aplică relația lui Euler, deci predimensionarea anterioară este corectă: d_3 calculat cu relația (3.12).
- $60 \leq \lambda < \lambda_0$ – apare *flambajul plastic* (bara își pierde stabilitatea numai după ce tensiunea de compresiune depășește limita de proporționalitate a materialului) și relația lui Euler nu mai poate fi utilizată. În calcule se aplică relația experimentală stabilită de L. Tetmajer și F. Yasinski care permite determinarea tensiunii critice de flambaj în funcție de coeficientul de sveltețe λ al barei de forma:

$$\sigma_{cf} = a - b \cdot \lambda \quad \sigma_{cf} = A - B \cdot \lambda + C \cdot \lambda^2 \quad (3.17)$$

unde: a, b, A, B, C – coeficienți dependenți de natura materialului (tabelul 3.1).

Tabelul 3.1

Material	λ_0	Coeficienți [MPa]		
		a = A	b = B	C
OL 37	105	310	1,14	0
OL 50	89	335	0,62	0
Oțel cu 5% Ni	86	461	2,26	0
Fontă	80	763	11,8	0,052

Condiția de verificat este de forma:

$$F \leq F_{af(p)} = \sigma_{af(p)} \cdot A_{\min} = \sigma_{af(p)} \cdot \frac{\pi \cdot d_3^2}{4} \quad (3.18)$$

în care: $\sigma_{af(p)}$ – tensiunea admisibilă la flambaj pentru domeniu plastic:

$$\sigma_{af(p)} = \frac{\sigma_{cf}}{c_{af}} \quad (3.19)$$

Din inegalitatea de mai sus rezultă **dimensiunea minimă pentru diametrul interior al filetului șurubului principal:**

$$d_3 \geq \sqrt{\frac{4 \cdot F}{\pi \cdot \sigma_{af(p)}}} \quad [\text{mm}] \quad (3.20)$$

care se rotunjește la valoarea standard d_{3I} din **Tabelul 2.3**.

- $20 \leq \lambda < 60$ – se aplică *metoda coeficienților de flambaj*, tensiunea admisibilă de flambaj în domeniu plastic este dată de:

$$\sigma_{af(p)} = \varphi \cdot \sigma_{ac} \quad (3.21)$$

unde: φ – coeficient de flambaj, dependent de material și valoarea coeficientului de sveltețe (tabelul 3.2);

σ_{ac} – tensiunea admisibilă de compresiune, calculată funcție de tensiunea limită (de curgere sau rupere) și un coeficient de siguranță la compresiune c adoptat cu valori între **1,5** și **2**:

$$\sigma_{ac} = \frac{R_{p0,2}(R_m)}{c} \quad (3.22)$$

condiția de verificat fiind similară cu (3.14) din care rezultă d_3 dat de relația (3.15) și se adoptă d_{3I} din STAS.

- $\lambda < 20$ – dimensionarea se efectuează din *condiția de rezistență la compresiune*:

$$F \leq F_{ac} = \sigma_{ac} \cdot A_{\min} \quad (3.23)$$

din care rezultă relația de calcul a diametrului minim pentru șurubul principal de forma:

$$d_3 \geq \sqrt{\frac{4 \cdot F}{\pi \cdot \sigma_{ac}}} \quad (3.24)$$

Tabelul 3.2

Material	λ	Coeficienți de flambaj ϕ									
		0	1	2	3	4	5	6	7	8	9
OL 37	20	1,000	0,994	0,988	0,983	0,977	0,971	0,965	0,959	0,953	0,947
	30	0,942	0,938	0,932	0,925	0,920	0,915	0,909	0,904	0,899	0,892
	40	0,888	0,884	0,877	0,872	0,866	0,861	0,856	0,851	0,846	0,841
	50	0,836	0,832	0,825	0,820	0,815	0,811	0,805	0,800	0,795	0,790
	60	0,785	0,780	0,776	0,772	0,766	0,761	0,756	0,751	0,747	0,741
OL 50	20	1,000	0,992	0,985	0,978	0,971	0,964	0,958	0,950	0,941	0,938
	30	0,930	0,924	0,916	0,910	0,904	0,897	0,891	0,884	0,877	0,871
	40	0,865	0,857	0,851	0,846	0,840	0,832	0,826	0,820	0,815	0,809
	50	0,801	0,795	0,789	0,784	0,778	0,771	0,764	0,759	0,754	0,746
	60	0,740	0,735	0,729	0,721	0,716	0,710	0,704	0,698	0,691	0,685

După determinarea diametrului d_3 și rotunjirea la valoarea superioară standardizată d_{3I} se aleg și celelalte **dimensiuni pentru filetul trapezoidal al șurubului principal și piuliței**: $d_I, p_I, d_{2I} = D_{2I}, D_{4I}, D_{1I}$ din **Tabelul 2.3**.

3.1.3. Verificarea autofrânării

La transmisiile șurub-piuliță solicitate static, dacă unghiul de înfășurare a elicei filetului este prea mare, există posibilitatea desfacerii piuliței sub sarcină. De aceea este necesară verificarea autofrânării piuliței pe filetul șurubului, care constă în **stabilirea inegalității**:

$$\alpha_{2I} \leq \rho'_I \quad (3.25)$$

în care: α_{2I} - unghiul mediu de înclinare a spirei filetului șurubului principal I; ρ'_I - unghiul aparent de frecare în filet.

Cele două unghiuri se determină cu relațiile:

$$\alpha_{2I} = \arctg \frac{p_I}{\pi \cdot d_{2I}} \quad [\text{deg}] \quad (3.26)$$

respectiv:

$$\rho'_I = \arctg \left(\frac{\mu}{\cos \frac{\beta}{2}} \right) \quad [\text{deg}] \quad (3.27)$$

unde: μ - coeficientul de frecare uscată între spirele filetului șurubului și piuliței, care se adoptă cu valori între **0,1...0,15** când cele două elemente sunt din oțel;

β - unghiul de înclinare între flancuri: $\beta = 30^\circ$ la filetul trapezoidal.

Dacă nu este verificată condiția de autofrânare (3.25) se propun măsuri pentru îndeplinirea acesteia (micșorea pasului filetului, creșterea dimensiunilor filetului).

3.1.4. Stabilirea dimensiunilor șurubului principal

- **Forma constructivă** – se alege în funcție de rolul pe care îl îndeplinește șurubul principal (deplasarea de translație față de șurubul secundar) și elementele constructive cu care se assemblează (piesa de reazem, șurubul secundar) – rezultă din figura 5 pentru varianta constructivă de cric cu șurub cu dublă acțiune.

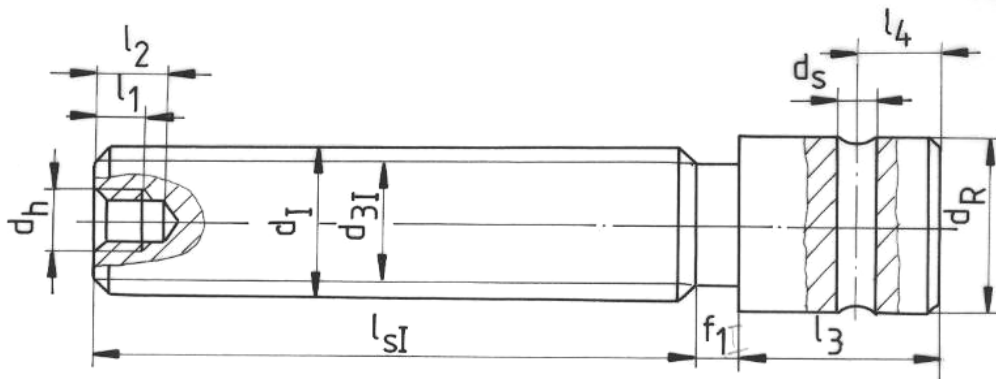


Fig. 5 – Șurubul principal I pentru cric cu șuruburi cu dublă acțiune

- **Alegerea dimensiunilor** – se corelează cu dimensiunile rezultate din calcul (d_I - diametrul exterior al filetului de mișcare, l_{SI} - lungimea filetată, dimensiunile piesei de reazem și ale șurubului cu cep cilindric, respectiv știftului utilizate pentru împiedicarea deplasării axiale a acesteia față de șurubul principal) sau pe baza recomandărilor.

Diametrul capului șurubului principal pentru fixarea piesei de reazem:

$$d_R = d_I + (2 \dots 5) \text{ mm} \quad [\text{mm}]$$

Degajarea pentru ieșirea filetului și raza de racordare pentru filetul de mișcare cu profil trapezoidal se adoptă din STAS 3508/5 funcție de mărimea pasului:

$$f_1 = 2 \cdot p_I \quad [\text{mm}]$$

respectiv r din **ANEXA A 2**.

Celelalte dimensiuni se aleg diferit în funcție de varianta constructivă de cric:

- pentru **cricul cu dublă acțiune**:

Lungimea tronsonului cilindric de asamblare cu piesa de reazem:

$$l_3 = 1,25 \cdot d_R \quad [\text{mm}]$$

Lungimea tronsonului de capăt, respectiv poziția găurii de fixare a știftului cilindric:

$$l_4 = \frac{l_3}{2} \quad [\text{mm}]$$

Diametrul găurii transversale d_s pentru fixarea piesei de reazem cu știft cilindric:

$$d_s = (0,15 \dots 0,25) \cdot d_R \quad [\text{mm}]$$

Valoarea calculată se rotunjește la o valoare standardizată pentru un **știft cilindric de fixare** (**Tabelul 3.2.1**).

Observații:

- Lungimea filetului de mișcare l_{SI} se determină diferențiat funcție de varianta constructivă de cric, după proiectarea șurubului secundar:

- pentru **cricul cu dublă acțiune**: se calculează cu relația (3.43) în funcție de H_I , înălțimea de ridicare realizată de șurubul principal I și H_{PI} - lungimea (înălțimea) piuliței șurubului I, executată în șurubul secundar II (cote stabilite pe baza pasului filetelor celor două șuruburi de mișcare).

• Toate **dimensiunile** calculate se rotunjesc la **valori nominale** standardizate în STAS 75 (vezi **Tabelul 1.1**).

• Deoarece cursa realizată de șurubul principal trebuie limitată, se prevede, din proiectare, o soluție de împiedicare a deplasării acestuia pe verticală care să nu determine ieșirea completă din piulița șurubului secundar (ex.: fixarea unei șaibe folosind un șurub cu cap hexagonal cu filet metric pe centrul suprafeței frontale a capătului filetat).

Dimensiunile filetului de fixare se aleg constructiv funcție de mărimea diametrului exterior al șurubului I:

- diametrul filetului: $d_h = M\ 6; M\ 8; M\ 10;$
- lungimea găurii: $l_2 = 15 \dots 20\ mm;$
- lungimea filetului: $l_1 = 10 \dots 15\ mm.$

Pentru fixarea limitatorului de cursă a șurubului principal se utilizează un **șurub cu cap hexagonal filetat până sub cap** cu forma constructivă și dimensiunile conform SR ISO 4017 (**Tabelul 3.2.2**).

3.1.5. Verificarea filetului la solicitare compusă

Schema de solicitare a șurubului principal rezultă din figura 2 în care este reprezentat ansamblul format de cele două șuruburi de mișcare, cu distribuția încărcării.

Șurubul principal fiind solicitat la compresiune și torsiune, se face verificarea la solicitare compusă pe baza calculului coeficientului de siguranță cu relația:

$$c_I = \frac{\sigma_{\lim}}{\sigma_{ef\ max\ I}} = \frac{R_{p0,2}}{\sigma_{ech\ max\ I}} \geq c_a \quad (3.28)$$

unde: $R_{p0,2}$ – limita de curgere a materialului șurubului principal;

$\sigma_{ech\ max\ I}$ – tensiunea echivalentă maximă care solicită șurubul principal, calculată cu relația:

$$\sigma_{ech\ max\ I} = \sqrt{\sigma_{c\ max\ I}^2 + 3 \cdot \tau_{t\ max\ I}^2} \quad [MPa] \quad (3.29)$$

Tensiunea maximă de compresiune este:

$$\sigma_{c\ max\ I} = \frac{F}{A_{c\ min\ I}} = \frac{4 \cdot F}{\pi \cdot d_{3I}^2} \quad [MPa] \quad (3.30)$$

Tensiunea maximă de torsiune se determină în funcție de momentul de torsiune M_t care solicită porțiunea filetată a șurubului principal cu relația:

$$\tau_{t\ max\ I} = \frac{M_t}{W_{p\ min\ I}} \quad [MPa] \quad (3.31)$$

în care: M_t – momentul de torsiune care solicită partea filetată a șurubului principal; pentru *cricul cu dublă acțiune*:

$$M_t = M_{tI} = F \cdot \frac{d_{2I}}{2} \cdot \operatorname{tg}(\alpha_{2I} + \rho'_I) \quad [N\ mm] \quad (3.32)$$

și modulul de rezistență polar al secțiunii minime a șurubului principal:

$$W_{p\ min\ I} = \frac{\pi \cdot d_{3I}^3}{16} \quad [mm^3] \quad (3.33)$$

Coefficientul de siguranță admisibil la compresiune este recomandat cu valori $c_a = 1,5...2$.

Șurubul principal rezistă la solicitarea compusă dacă este îndeplinită inegalitatea (3.28).

În caz contrar, se propun **soluții** care să ducă la respectarea condiției (exemplu: schimbarea materialului, modificarea dimensiunilor șurubului).

3.2. Proiectarea piesei de reazem

Sarcina de ridicat se sprijină pe ansamblul format din cele două cuple elicoidale de mișcare prin intermediul unei piese de reazem care:

- formează o cuplă de frecare axială cu alunecare sau rostogolire față de șurubul principal
- la *cricul cu șurub telescopic*;
- se fixează solidar cu șurubul principal – la *cricul cu șuruburi cu dublă acțiune*.

3.2.1. Alegerea materialului

Piesa de reazem nu impune condiții deosebite de material, deoarece solicitările care apar sunt de compresiune și torsiune, iar forma interioară trebuie prelucrată după dimensiunile capului șurubului principal. Se recomandă utilizarea unui **oțel turnat OT 40...OT 60** – STAS 600 -80 din **Tabelul 1.23**, **fontă cenușie** - SR ISO 185 din **Tabelul 1.25** sau **oțel carbon de uz general** – **OL 50, OL 60** STAS 500- 80 din **Tabelul 1.21**.

3.2.2. Stabilirea dimensiunilor

- **Alegerea formei constructive**

Forma constructivă reiese din figura 6 pentru cricul cu șurub cu dublă acțiune.

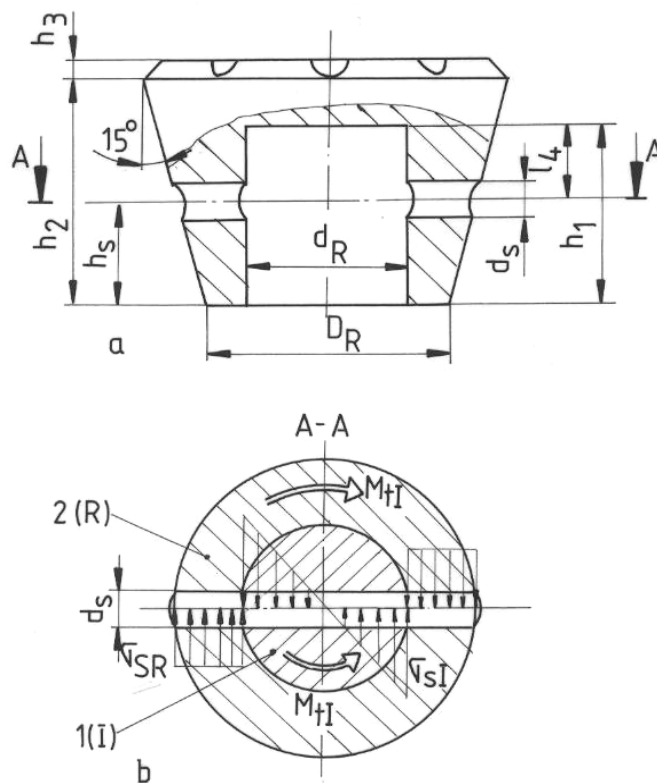


Fig. 6 – Piesa de reazem la cricul cu dublă acțiune

- **Stabilirea dimensiunilor**

Se face constructiv, astfel:

- *diametrul interior*: $d_R = d_I + (2 \dots 5)$ mm,

în care: d_I - diametrul nominal al filetului șurubului I (de la proiectarea șurubului principal);

- *diametrul exterior* $D_R = d_R + (10 \dots 15)$ mm sau

$$D_R = (1,4 \dots 1,6) \cdot d_R;$$

- *diametrul filetului pentru șurubul de fixare axială*: $d_s = 8$ sau 10 mm pentru *M8* sau *M10*;

- *diametrul găurii pentru fixarea știftului*:

$$d_s = (0,15 \dots 0,25) \cdot d_R \text{ (de la proiectarea șurubului principal);}$$

- *înălțimea pentru gaura șurubului, respectiv știftului*: $h_s = \frac{d_s}{2} + (5 \dots 6)$ mm

- *adâncimea alezajului pentru asamblarea cu șurubul principal*:

$$h_1 = h_s + l_4 + (1 \dots 2)$$
 mm

- *înălțimea părții tronconice*: $h_2 = h_1 + (5 \dots 10)$ mm

- *înălțimea suprafeței randalinate*: $h_3 = 1 \dots 2$ mm

- *înălțimea totală a piesei de reazem*: $h = h_2 + h_3$.

3.2.3. Alegerea asamblării cu șurubul principal

Asamblarea dintre piesa de reazem și șurubul principal diferă la cele două variante constructive ale ansamblului de ridicare.

La *cricul cu dublă acțiune*: piesa de reazem este fixată printr-un știft cilindric pe capul șurubului principal.

- Alegerea știftului de fixare

Piesa de reazem se assemblează cu șurubul principal printr-un **știft cilindric** - STAS 1599, care se alege în funcție de valoarea calculată pentru diametrul d_s din **Tabelul 3.2.1**.

Materialul știftului se recomandă: **OL 50**, **OL 60** – STAS 500 sau **OLC 45** - STAS 880 (**Tabelul 1.21**, **Tabelul 1.22**).

- Verificarea știftului de fixare

Datorită poziției de montare a știftului pentru solidarizarea piesei de reazem pe șurubul principal, acesta este solicitat la forfecare și strivire în secțiunea transversală a asamblării (figura 10, b).

Verificarea constă în determinarea coeficientului de siguranță sau a tensiunilor efective și compararea cu valorile admisibile pentru fiecare tip de solicitare.

Tensiunea efectivă de forfecare apare în două secțiuni periculoase (în dreptul diametrului de asamblare d_R) și este dată de relația:

$$\tau_{fs} = \frac{F_{fs}}{A_{fs}} = \frac{\frac{M_{tl}}{d_R}}{\frac{\pi \cdot d_s^2}{4}} = \frac{4 \cdot M_{tl}}{\pi \cdot d_R \cdot d_s^2} \leq \tau_{af} = \mathbf{65 \dots 80 \text{ MPa}} \quad (3.34)$$

Solicitarea de strivire se manifestă între:

- suprafața știftului și arbore (șurubul principal) – tensiunea fiind:

$$\sigma_{sI} = \frac{6 \cdot M_{tl}}{d_s \cdot d_R^2} \quad (3.35)$$

- suprafața știftului și piesa de reazem, tensiunea dată de:

$$\sigma_{sR} = \frac{4 \cdot M_{tl}}{d_s \cdot (D_R^2 - d_R^2)} \quad (3.36)$$

Condiția de verificat la strivire este $\sigma_{sI,R} \leq \sigma_{as}$, cu valoarea admisibilă recomandată $\sigma_{as} = \mathbf{100 \dots 120 \text{ MPa}}$.

În cazul nerespectării inegalității se propun **soluții** pentru verificarea relației (ex.: modificarea diametrului știftului sau diametrelor pieselor asamblate).

- Verificarea șurubului principal în zona asamblării

Deoarece capul șurubului principal are prevăzută o gaură pentru montarea transversală a știftului cilindric cu care se fixează piesa de reazem, se face o **verificare la solicitarea compusă** de compresiune și torsiune a acestuia în secțiunea slăbită.

Tensiunea echivalentă maximă se determină cu relația:

$$\sigma_{ech \max Is} = \sqrt{\sigma_{c \max Is}^2 + 3 \cdot \tau_{t \max Is}^2} \quad (3.37)$$

în care *tensiunea de compresiune a capului șurubului principal* este:

$$\sigma_{c \max Is} = \frac{F}{\frac{\pi \cdot d_R^2}{4} - d_s \cdot d_R} \quad (3.38)$$

iar *tensiunea de torsiune*:

$$\tau_{t \max Is} = \frac{16 \cdot M_{tl}}{\pi \cdot d_R^3 \left(1 - \frac{d_s}{d_R}\right)} \quad (3.39)$$

Condiția de verificat este ca tensiunea $\sigma_{ech \max Is} \leq \sigma_{ac}$, tensiunea admisibilă la compresiune σ_{as} . În caz contrar, se propun **soluții** care să conducă la îndeplinirea inegalității.

3.3. Proiectarea șurubului secundar

3.3.1. Alegerea materialului

Pentru realizarea șurubului secundar se recomandă aceleași materiale ca și în cazul șurubului principal **OL 37**, **OL 50** (STAS 500-80) sau **OLC 35**, **OLC 45** (STAS 880 – 80), din **Tabelul 1.21**, respectiv **Tabelul 1.22**.

3.3.2. Stabilirea dimensiunilor

1) Pentru șurubul principal I

Numărul de spire ale piuliței – se determină din condiția de rezistență la strivire a peliculei de lubrifianț (figura 7) cu relația:

$$z_I \geq \frac{4 \cdot F}{\pi(d_I^2 - D_{II}^2) \cdot \sigma_{asI}} \quad (3.40)$$

în care: σ_{asI} – tensiunea admisibilă la strivire are valori recomandate între **7 ... 13 MPa** pentru contactul **oțel/oțel** (la alte materiale pentru piuliță se alege din tabelul 3.3).

Valoarea calculată pentru z_I se adoptă întregă, mai mare decât cea calculată, în intervalul **6 ... 10 spire**.

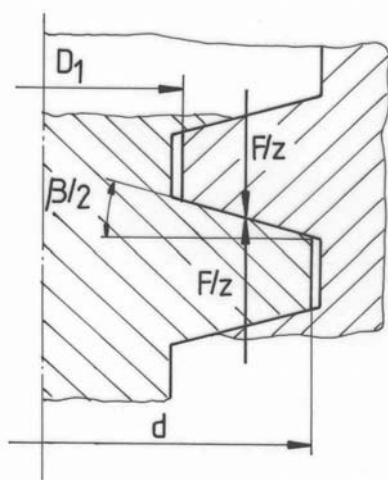


Fig. 7 – Determinarea numărului de spire

Înălțimea (lungimea) piuliței este dată de:

$$H_{pI} = z_I \cdot p_I \quad [\text{mm}] \quad (3.41)$$

cu: p_I – pasul filetelui șurubului principal.

2) Pentru șurubul secundar II

- **Alegerea formei constructive**

Forma constructivă pentru șurubul secundar rezultă din figura 8.

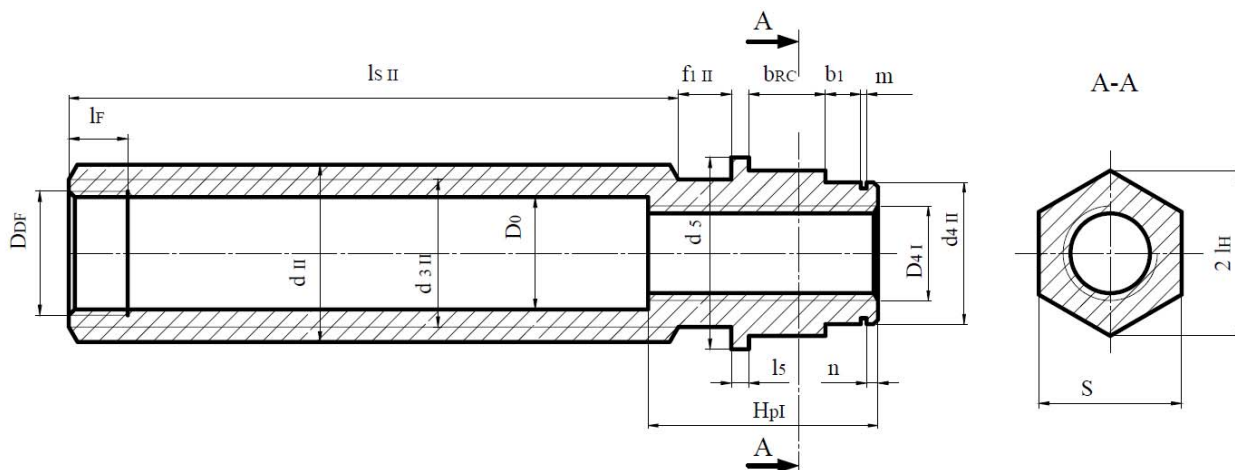


Fig. 8 – Șurubul secundar II

- **Alegerea dimensiunilor**

Se calculează sau se adoptă următoarele mărimi:

Diametrul corpului pentru fixarea suportului de clichet:

$$d_{4II} = 1,5 \cdot d_I \quad [\text{mm}]$$

cu: d_I – diametrul exterior standardizat al filetului șurubului principal.

Deschiderea hexagonului pentru montarea roții de clichet:

$$S = d_{4II} + (2 \dots 4) \text{ mm}$$

Latura hexagonului:

$$l_H = \frac{S}{\sqrt{3}} \quad [\text{mm}]$$

Diametrul gulerului de sprijin pentru roata de clichet:

$$d_5 = 2 \cdot l_H + (8 \dots 10) \text{ mm}$$

Diametrul alezajului pentru trecerea șurubului principal:

$$D_0 = D_{4I} + (4 \dots 6) \text{ mm}$$

Diametrul interior minim necesar al filetului se calculează cu relația:

$$d_{3II} \geq D_0 + (10 \dots 12) \text{ mm}$$

care se rotunjește la o valoare superioară din SR ISO 2904 pentru profil trapezoidal cu pas normal, după care se aleg toate dimensiunile filetului șurubului secundar: $d_{II}, p_{II}, d_{2II} = D_{2II}, D_{4II}, D_{1II}$ din **Tabelul 2.3**.

Lungimile filetelor de mișcare se stabilesc având în vedere următoarele **observații**:

La varianta de **cric cu șuruburi cu dublă acțiune** cursa de ridicare H este realizată prin participarea ambelor șuruburi (principal I și secundar II) și sunt posibile două **soluții constructive** pentru realizarea celor două filete:

– *filete cu același sens de înclinare a spirelor* (dreapta sau stânga): la rotirea șurubului II pentru ridicarea sarcinii F șurubul I coboară, astfel că la o rotație completă se obține o deplasare de translație egală cu diferența pașilor filetelor ($p_{II} - p_I$). Realizarea înălțimii de ridicare impuse H necesită un număr foarte mare de rotații ale șurubului secundar, deci o lungime mai mare a filetului acestuia (timpul necesar ridicării este mai mare);

Organe de mașini 1

– filete cu sensuri de înclinare diferite (unul stânga, celălalt dreapta) când la o rotație completă a șurubului secundar II în sensul ridicării sarcinii exterioare șurubul principal I se va deplasa în același sens la rotirea piuliței din șurubul secundar. Astfel la o rotație completă se realizează o deplasare de translație egală cu suma pașilor filetelor ($p_I + p_{II}$), iar înălțimea de ridicare H se obține cu un număr mai mic de rotații ale șurubului secundar, lungimea filetată a acestuia fiind mai mică (ridicarea este mai rapidă).

Dacă se notează:

- H – înălțimea de ridicare (cursa de lucru);
- H_I – înălțimea (cursa) realizată de șurubul principal I ;
- H_{II} – înălțimea (cursa) realizată de șurubul secundar II ;
- p_I – pasul filetelor șurubului principal;
- p_{II} – pasul filetelor șurubului secundar;
- l_I – lungimea filetată a șurubului I care participă la ridicare;
- l_{II} – lungimea filetată a șurubului II care participă la ridicare;
- H_{PI} – lungimea (înălțimea) piuliței șurubului I ;
- H_{PII} – lungimea (înălțimea) piuliței fixe a șurubului II

se poate scrie condiția:

$$\frac{l_I}{l_{II}} = \frac{p_I}{p_{II}} \quad (3.42)$$

din care se stabilesc lungimile filetate ale celor două șuruburi de mișcare:

$$l_{SI} = H_I + H_{PI} \quad (3.43)$$

$$l_{SII} = H_{II} + H_{PII} \quad (3.44)$$

Ținând seama că la o rotație completă a șurubului secundar realizată cu ajutorul sistemului de acționare cu manivelă, fiecare șurub se deplasează cu câte un pas al filetelor (p_I respectiv p_{II}), iar pentru ansamblu se obține o deplasare egală cu $p_I + p_{II}$ ridicarea fiind realizată pe distanțele H_I respectiv H_{II} , iar ansamblul la înălțimea H rezultă următoarele relații de calcul :

$$H_I = H \cdot \frac{p_I}{p_I + p_{II}} \quad (3.45)$$

$$H_{II} = H \cdot \frac{p_{II}}{p_I + p_{II}} \quad (3.46)$$

de unde se deduce că:

$$H = H_I + H_{II} \quad (3.47)$$

Înălțimea piuliței șurubului secundar H_{PII} din relația (3.52) se determină la proiectarea piuliței fixe cu relația (3.68).

Degajarea pentru ieșirea filetelor:

$$f_{III} = 2 \cdot p_{II} \quad [\text{mm}]$$

Lungimea umărului de sprijin:

$$l_5 = 5 \dots 6 \text{ mm}$$

Lungimea tronsonului pentru montarea roții de clichet b_{RC} se adoptă la proiectarea roții de clichet.

Lungimea tronsonului pentru montarea suportului de clichet b_1 se adoptă la proiectarea suportului pe care se fixează clichetul vertical.

Lungimea tronsonului pentru asigurarea sistemului de acționare l_6 se alege constructiv în funcție de soluția adoptată pentru reținerea axială a pieselor montate pe șurubul secundar.

Se propune utilizarea un **inel elastic de siguranță** care se alege din STAS 5848 (**Tabelul 3.2.3**) funcție de diametrul de asamblare pe șurubul secundar $d = d_{4II}$ stabilind dimensiunile canalului: diametrul interior d_1 , lățimea m_1 și lungimea tronsonului de capăt n .

3.3.3. Verificarea condiției de autofrânare

Se efectuează similar ca la șurubul principal cu relația:

$$\alpha_{2II} \leq \rho'_{II} \quad (3.48)$$

unde: α_{2II} – unghiul de înfășurare a spirei filetului șurubului secundar dat de relația:

$$\alpha_{2II} = \arctg\left(\frac{p_{II}}{\pi \cdot d_{2II}}\right) \quad [\text{deg}] \quad (3.49)$$

și ρ'_{II} – unghiul aparent de frecare între spirele șurubului secundar și piuliței fixe, calculat cu:

$$\rho'_{II} = \arctg\left(\frac{\mu_{II}}{\cos\frac{\beta}{2}}\right) \quad [\text{deg}] \quad (3.50)$$

Pentru *coeficientul de frecare* μ_{II} se aleg valori în funcție de materialul piuliței fixe (tabelul 3.3).

În cazul neverificării condiției se propun **soluții** pentru respectarea acesteia.

3.3.4. Verificarea la solicitare compusă

Șurubul secundar este solicitat la compresiune de sarcina axială F și la torsiune de momentul de frecare din filet M_{III} (ca în figura 2) relația de verificare, folosind coeficientul de siguranță, fiind de forma:

$$c_{II} = \frac{R_{p0,2}}{\sigma_{ech\max II}} \geq c_a \quad (3.51)$$

Tensiunea maximă echivalentă se determină cu relația bazată pe ipoteza energetică de rupere a materialului șurubului secundar:

$$\sigma_{ech\max II} = \sqrt{\sigma_{c\max II}^2 + 3 \cdot \tau_{t\max II}^2} \quad [\text{MPa}] \quad (3.52)$$

în care: *tensiunea efectivă maximă de compresiune* este:

$$\sigma_{c\max II} = \frac{F}{A_{\min II}} = \frac{4 \cdot F}{\pi \cdot (d_{3II}^2 - D_0^2)} \quad [\text{MPa}] \quad (3.53)$$

și *tensiunea efectivă maximă de torsiune* se determină cu relația:

$$\tau_{t\max II} = \frac{M_{III}}{W_{p\min II}} \quad [\text{MPa}] \quad (3.54)$$

în care: momentul de frecare din filetul șurubului secundar este dat de:

$$M_{III} = F \cdot \frac{d_{2II}}{2} \cdot \text{tg}(\alpha_{2II} + \rho'_{II}) \quad [\text{N mm}] \quad (3.55)$$

iar modulul de rezistență polar al secțiunii inelare minime se calculează cu:

$$W_{p\min II} = \frac{\pi \cdot (d_{3II}^4 - D_0^4)}{16 \cdot d_{3II}} \quad [\text{mm}^3] \quad (3.56)$$

3.3.5. Determinarea randamentului

Un indicator important în funcționarea sistemelor de ridicare cu șuruburi de mișcare cu frecare de alunecare între spire este **randamentul**.

Relația de calcul diferă în funcție de soluția constructivă adoptată.

La **cricul cu șuruburi cu dublă acțiune**:

$$\eta = \frac{d_{2I} \cdot \text{tg} \alpha_{2I} + d_{2II} \cdot \text{tg} \alpha_{2II}}{d_{2I} \cdot \text{tg}(\alpha_{2I} + \rho'_{I}) + d_{2II} \cdot \text{tg}(\alpha_{2II} + \rho'_{II})} \quad (3.57)$$

cu dimensiunile d_{2I}, d_{2II} adoptate și unghiurile $\alpha_{2I}, \alpha_{2II}, \rho'_{I}, \rho'_{II}$ calculate anterior.

3.4. Proiectarea piuliței fixe

3.4.1. Alegerea materialului

În funcție de condițiile constructiv-funcționale impuse diferitelor variante de sisteme de ridicare cu șurub de mișcare, pentru piulița fixă se pot utiliza următoarele categorii de materiale:

- *Oțeluri laminate de uz general pentru construcții:*
OL 37, OL 42, OL 50 – STAS 500/2 (**Tabelul 1.21**);
- *Oțeluri carbon de calitate:*
OLC 45 – STAS 880 (**Tabelul 1.22**);
- *Fontă cenușie*
F_c 200 – SR ISO 185 (**Tabelul 1.25**)
- *Bronz cu staniu*
CuSn 10, CuSn 11 – SR ISO 197/1 (**Tabelul 1.26**).

3.4.2. Stabilirea dimensiunilor piuliței fixe

1) Alegerea formei constructive

Se proiectează o piuliță cu guler de rezemare față de suportul care susține ansamblul de ridicare a sarcinii exterioare, cu reprezentarea din figura 9.

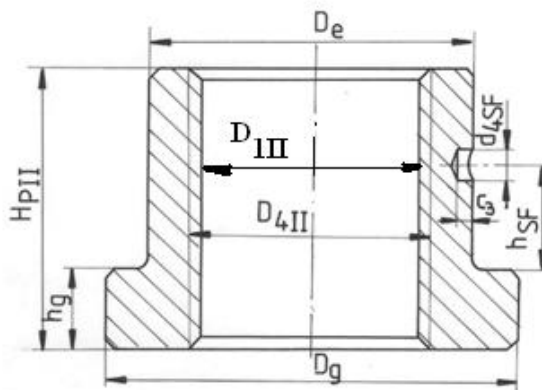


Fig. 9 – Piulița fixă

2) Stabilirea dimensiunilor

• *Determinarea numărului de spire* – se face din condiția de rezistență la strivire a peliculei de lubrifianț dintre spire (figura 6), similar ca la șurubul principal, cu relația:

$$z_{II} \geq \frac{4 \cdot F}{\pi \cdot (d_{II}^2 - D_{III}^2) \cdot \sigma_{asII}} \quad (3.58)$$

în care: σ_{asII} - tensiunea admisibilă de strivire se adoptă din tabelul 3.3 funcție de materialele pieselor aflate în contact (șurubul secundar și piulița fixă).

Tabelul 3.3

Materiale în contact	Coefficientul de frecare μ_{II}	Tensiunea admisibilă de strivire σ_{asII} [MPa]
Oțel – oțel	0,1 ... 0,15	7 ... 13
Oțel – fontă	0,12 ... 0,15	5 ... 6
Oțel – bronz	0,08 ... 0,1	10 ... 15

Valoarea rezultată din calcul pentru z_{II} se rotunjește la un număr întreg mai mare din intervalul **6 ... 10 spire**.

Dacă z_{II} rezultă din calcul mai mare ca 10, se recalculează numărul de spire prin schimbarea materialului piuliței.

- *Înălțimea (lungimea) piuliței*

$$H_{PII} = z_{II} \cdot p_{II} \quad [\text{mm}] \quad (3.59)$$

- *Diametrul exterior al corpului*

$$D_e = D_{4II} + (10 \dots 15) \text{ mm} \quad [\text{mm}]$$

- *Diametrul exterior al gulerului*

$$D_g = D_e + (16 \dots 20) \text{ mm} \quad [\text{mm}]$$

- *Înălțimea gulerului*

$$h_g = 8 \dots 12 \text{ mm}$$

- *Alegerea știftului filetat de fixare a piuliței în suport (corp)*

– diametrul exterior $d_{sf} = M5, M6$ sau $M8$

– forma constructivă – cu creștătură, cu cep cilindric STAS 10422 (**figura 3.2.8, tabelul 3.2.5, tabelul 3.2.6**).

3.4.3. Verificarea piuliței

La piulița fixă, datorită formei constructive și modului de fixare față de suport, se efectuează următoarele **verificări**: spira filetului, corpul piuliței și știftul filetat.

1) Verificarea spirei filetului

Schema de solicitare a spirei filetului este reprezentată în figura 10a.

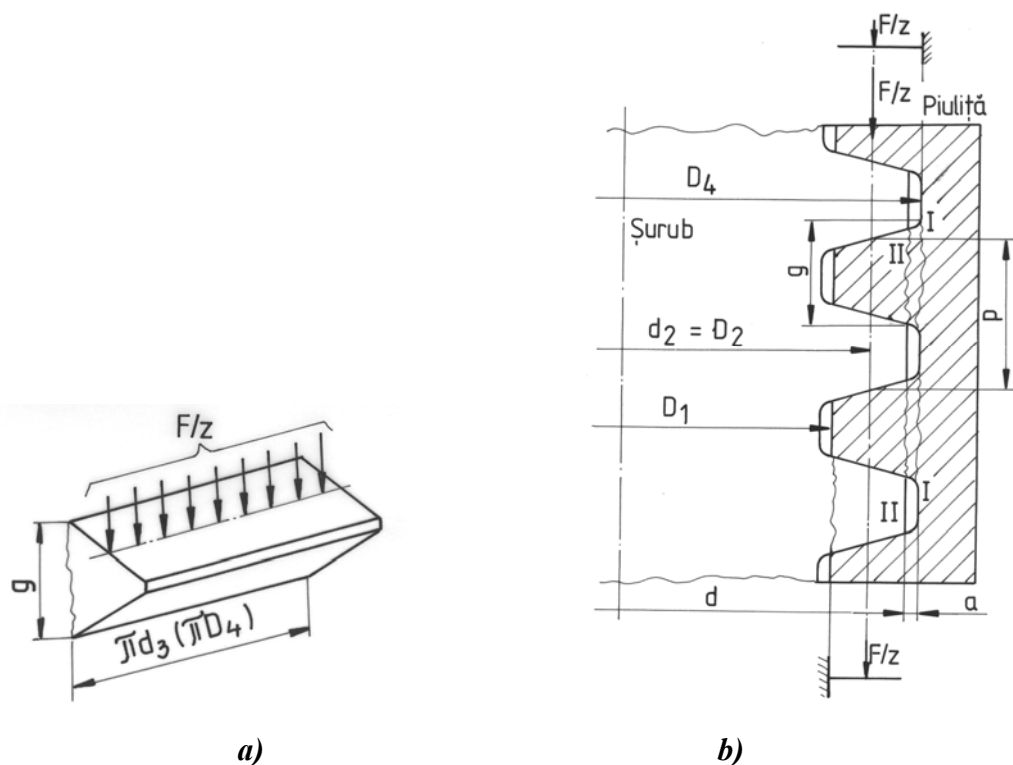


Fig. 10 – Verificarea spirei filetului piuliței

Calculul de verificare se efectuează la:

- **solicitarea de încovoiere** (figura 10b) - apare în secțiunea **I-I**
tensiunea de încovoiere în spiră este:

$$\sigma_{is} = \frac{M_{is}}{W_{zss}} = \frac{z_{II}}{\pi \cdot D_{4II} \cdot g_{II}^2} \cdot \frac{F \cdot (D_{4II} - d_{2II})}{2} = \frac{3 \cdot F \cdot (D_{4II} - d_{2II})}{\pi \cdot D_{4II} \cdot g_{II}^2 \cdot z_{II}} \leq \sigma_{ai} \quad [\text{MPa}] \quad (3.60)$$

unde: g_{II} – grosimea spirei la bază se poate calcula cu relația:

$$g_{II} = 0,634 \cdot p_{II}$$

σ_{ai} – tensiunea admisibilă la încovoiere ia următoarele valori:

- 60 ... 80 MPa** – piulița din oțel;
- 40 ... 45 MPa** – piulița din fontă sau bronz;

- **solicitarea de forfecare** (figura 10b) – apare în secțiunea **II-II** - tensiunea în spiră este:

$$\tau_{fs} = \frac{F_s}{A_{fs}} = \frac{z_{PII}}{\pi \cdot D_{4II} \cdot g_{II}} \cdot \frac{F}{2} \leq \tau_{af} \quad [\text{MPa}] \quad (3.61)$$

în care: τ_{af} – tensiunea admisibilă la forfecare are valori funcție de material:

- 50 ... 65 MPa** – piulița din oțel;
- 30 ... 35 MPa** – piulița din fontă sau bronz.

2) Verificarea corpului piuliței

Constă în verificarea la:

- **Solicitarea de strivire a gulerului de reazem** – figura 11:

$$\sigma_{sg} = \frac{4 \cdot F}{\pi \cdot (D_g^2 - D_e^2)} \leq \sigma_{as} \quad [\text{MPa}] \quad (3.62)$$

cu: σ_{as} - tensiunea admisibilă la strivire adoptată **60 MPa**.

- **Solicitarea de forfecare a gulerului de reazem** (figura 11) – în secțiunea **I-I**:

$$\tau_{fg} = \frac{F}{\pi \cdot D_e \cdot h_g} \leq \tau_{af} \quad [\text{MPa}] \quad (3.63)$$

unde: τ_{af} – se adoptă: **40 ... 55 MPa** – pentru oțel;

30 ... 35 MPa – pentru fontă sau bronz.

- **Solicitarea compusă (compresiune, torsiune):**

Tensiunea echivalentă maximă din piuliță:

$$\sigma_{echP} = \sqrt{\sigma_{cP}^2 + 3 \cdot \tau_{tP}^2} \leq \sigma_{at} \quad [\text{MPa}] \quad (3.64)$$

Tensiunea efectivă de compresiune a piuliței:

$$\sigma_{cP} = \frac{4 \cdot F}{\pi \cdot (D_e^2 - D_{4II}^2)} \quad [\text{MPa}] \quad (3.65)$$

Tensiunea efectivă de torsiune a piuliței:

$$\tau_{tP} = \frac{M_{tII}}{W_{p\min P}} = \frac{16 \cdot D_e \cdot M_{tII}}{\pi \cdot (D_e^4 - D_{4II}^4)} \quad [\text{MPa}] \quad (3.66)$$

Tensiunea admisibilă de tracțiune σ_{at} este recomandată funcție de materialul piuliței:

60 ... 80 MPa – pentru oțel;

40 ... 45 MPa – pentru fontă sau bronz.

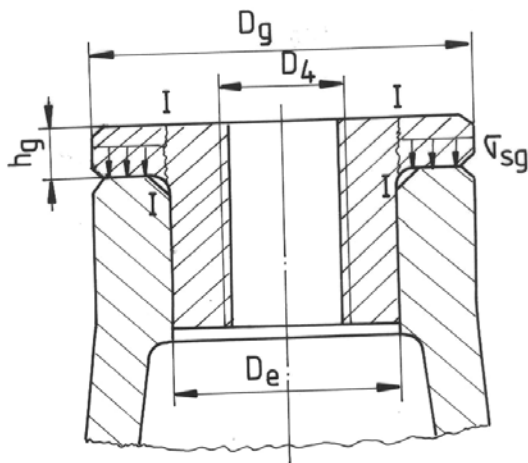


Fig. 11 – Verificarea gulerului piuliței

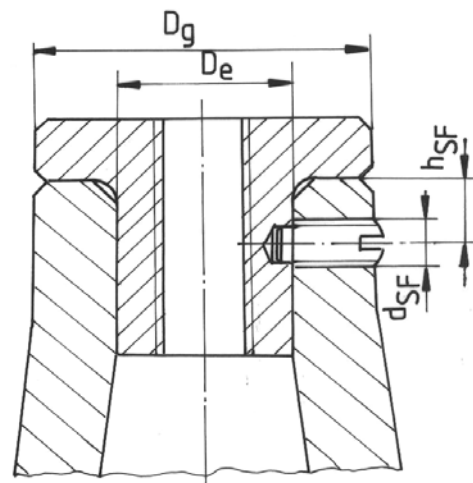


Fig. 12 – Verificarea știftului filetat

3) Verificarea știftului filetat

Asamblarea piuliței în suportul cricului este reprezentată în figura 12, iar verificarea se efectuează funcție de *momentul care soliciță știftul*:

$$M_s = M_{tIII} - M_g \quad (3.67)$$

cu: M_g – momentul de frecare pe suprafața de sprijin a gulerului piuliței fixe față de suport dat de relația:

$$M_g = \frac{1}{3} \cdot \mu_1 \cdot F \cdot \frac{D_g^3 - D_e^3}{D_g^2 - D_e^2} \quad [\text{MPa}] \quad (3.68)$$

în care: μ_1 – coeficientul de frecare pe suprafața de reazem a piuliței în suport; se adoptă:

- 0,15 ... 0,2 – oțel/oțel;
- 0,12 ... 0,15 – oțel/fontă, fontă/fontă, bronz/fontă.

Observație:

Deoarece valoarea calculată pentru M_s este foarte mică sau negativă, nu este necesară verificarea știftului filetat (cele două momente acționează în același sens și nu determină forfecarea știftului de fixare).

3.5. Proiectarea suportului

Suportul este piesa care susține întreaga construcție a cricului, având montată piulița fixă prin diferite soluții tehnice de fixare (cu șuruburi, **cu știft filetat**, prin presare, etc.)

3.5.1. Alegerea materialului

Analizând forma constructivă stabilită în fig. 3.10, suportul poate fi realizat prin turnare din **oțel OT 45 – STAS 600 (Tabelul 1.23)** sau din **fontă Fc 200 – STAS 580 (Tabelul 1.25)**.

În cazul când cricul este produs în serie mică sau individuală se poate recurge la o **construcție sudată din oțel OL 37 – STAS 500**.

3.5.2. Alegerea dimensiunilor

Dimensionarea suportului (figura 13) se realizează pe bază de recomandări și construcții asemănătoare, verificând unde este cazul.

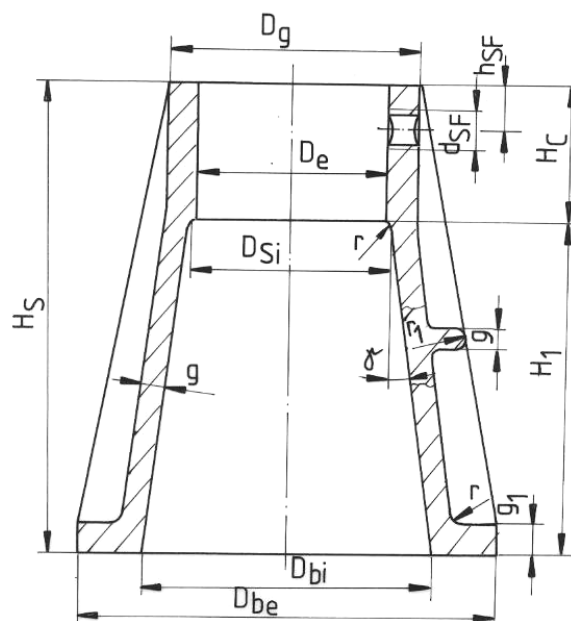


Fig. 13 – Suportul cricului

- **Dimensiunile** : D_g, D_e, h_g, H_{PII} – sunt cele de la piulița fixă;
- **Diametrul interior** :

$$D_{Si} = D_e + (5 \dots 10) \text{ mm} \quad [\text{mm}] \quad (3.69)$$
- **Unghiul conicității**:

$$\gamma = 5^0 \dots 7^0$$
- **Grosimea peretelui** – se alege în funcție de material și gabaritul maxim, astfel:
 $g = 4 \text{ mm}$ – pentru **fontă** și $H_0 \leq 250 \text{ mm}$;
 $g = 5 \text{ mm}$ – pentru **fontă** și $250 < H_0 \leq 500 \text{ mm}$;
 $g = 7 \text{ mm}$ – pentru **oțel** și $H_0 < 250 \text{ mm}$;
 $g = 8 \text{ mm}$ – pentru **oțel** și $250 < H_0 \leq 500 \text{ mm}$.
- **Grosimea tălpii**:

$$g_1 = 10 \dots 12 \text{ mm}$$
- **Înălțimea părții tronconice** :

$$H_1 = H_{II} + (30 \dots 50) \text{ mm} \quad [\text{mm}] \quad (3.70)$$
- **Înălțimea părții cilindrice** :

$$H_c = H_{PII} - h_g + (0 \dots 10) \text{ mm} \quad [\text{mm}] \quad (3.71)$$
- **Înălțimea totală** :

$$H_S = H_1 + H_c \quad [\text{mm}] \quad (3.72)$$
- **Diametrul interior la baza suportului** :

$$D_{bi} = D_{Si} + 2 \cdot H_1 \cdot \text{tg} \gamma \quad [\text{mm}] \quad (3.73)$$
- **Diametrul exterior la baza suportului** :

$$D_{be} = D_{bi} + (30 \dots 50) \text{ mm} \quad (3.74)$$
- **Razele de racordare** :

$$r = 0,5 \cdot g \quad \text{și} \quad r_1 = 0,25 \cdot g \quad [\text{mm}] \quad (3.75)$$
- **Poziția știftului filetat** :

$$h_{sf} = \frac{H_{PII}}{2} \quad [\text{mm}] \quad (3.76)$$

Toate valorile obținute se rotunjesc conform STAS 406 – *Dimensiuni nominale* (**Tabelul 1.1**).

3.5.3. Verificarea suportului

Se realizează două verificări în secțiunile periculoase (vezi figura 13):

- **Verificarea la compresiune** în secțiunea **I-I**: tensiunea de compresiune a suportului:

$$\sigma_{cS} = \frac{4 \cdot F}{\pi \cdot (D_g^2 - D_{Si}^2)} \leq \sigma_{ac} \quad [\text{MPa}] \quad (3.77)$$

- **Verificarea la strivire** a suprafeței de sprijin a suportului se face prin calculul tensiunii de strivire cu relația:

$$\sigma_{sS} = \frac{4 \cdot F}{\pi \cdot (D_{be}^2 - D_{bi}^2)} \leq \sigma_{as} \quad [\text{MPa}] \quad (3.78)$$

în care: σ_{as} – tensiunea admisibilă de strivire se alege în funcție de natura solului pe care se sprijină suportul cricului, astfel:

2,5 ... 25 MPa	- beton;
40 ... 100 MPa	- granit;
2,5 ... 6 MPa	- zidărie;
0,75 ... 1,5 MPa	- sol argilos.

3.6. Proiectarea sistemului de acționare

Există două construcții diferite de sisteme de acționare:

- *cu clichet orizontal* – utilizat la toate tipurile constructive de cricuri;
- **cu clichet vertical** – se poate atașa la sistemele de ridicare mai puțin cricul cu șurub și pârgă (datorită poziției acestuia în plan vertical).

Din aceste motive se va adopta această soluție pentru cricurile care lucrează în domenii de sarcini ridicate (telescopice, cu dublă acțiune, cu piuliță rotitoare, prese).

Deoarece sistemul de acționare este alcătuit din mai multe elemente constructive, proiectarea acestora se va face în etape diferite.

3.6.1. Stabilirea formei constructive

Subansamblul de acționare cu clichet vertical a cricului este reprezentat în figura 14 și cuprinde următoarele **elemente**: 1 – roată de clichet, 2 – suport de clichet, 3 – inel de siguranță, 4 – bolț de montaj, 5 – clichet, 6 – prelungitor manivelă.

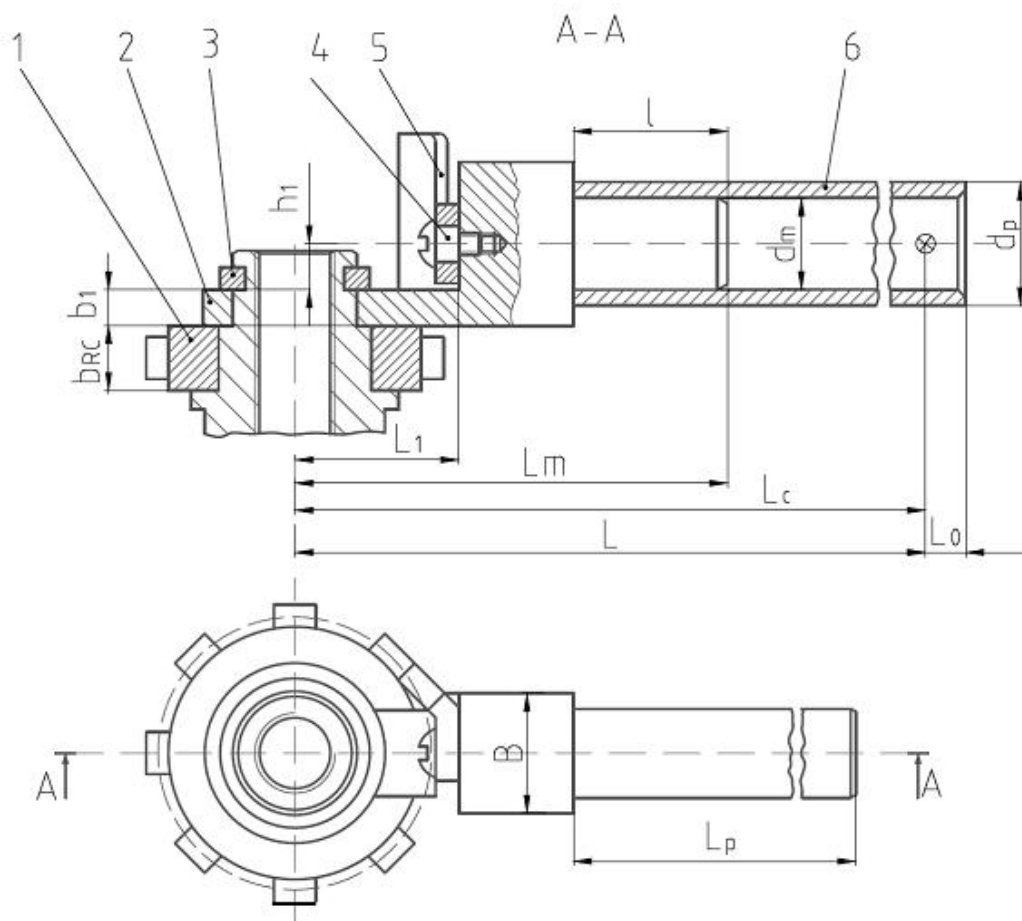


Fig. 14 – Subansamblul de acționare cu clichet vertical

3.6.2. Proiectarea manivelei

Pentru acționarea manuală a sistemului mecanic de ridicare cu două șuruburi (*telescopic, cu dublă acțiune*) se calculează *lungimea manivelei* cu relația:

$$L = L_c + L_0 \quad [\text{mm}] \quad (3.79)$$

în care: L_c – lungimea de calcul stabilită în funcție de numărul de muncitori care contribuie la ridicarea sarcinii exterioare $n = 1 \dots 2$ și un coeficient de nesimultaneitate a acțiunii acestora $K_n = 1$ pentru $n = 1$ sau $K_n = 0,8$ pentru $n = 2$:

$$L_c = \frac{M_{it}}{K_n \cdot n \cdot F_m} \quad [\text{mm}] \quad (3.80)$$

cu: F_m – forța dezvoltată de un muncitor pentru acționarea levierului; se recomandă cu valori între **150 ... 350 N**;

M_{it} – momentul de încovoiere total, egal cu momentul de torsiune necesar ridicării sarcinii axiale, calculat pentru fiecare din variantele constructive:

– la *cricul telescopic*: $M_{it} = M_t = M_f + M_{III} \quad [\text{N mm}]$;

– la *cricul cu dublă acțiune*: $M_{it} = M_t = M_{II} + M_{III} \quad [\text{N mm}]$.

Lungimea L_0 reprezintă lungimea suplimentară pentru prinderea cu mîna a manivelei sau levierului (se adoptă constructiv):

$$L_0 = 50 \text{ mm} \text{ pentru } n = 1;$$

$$L_0 = 100 \text{ mm} \text{ pentru } n = 2.$$

După valoarea rezultată sunt posibile două soluții constructive pentru manivela de acționare:

- $L \leq 250 \dots 320 \text{ mm}$ manivela are lungimea $L_m = L$;
- $L > 250 \dots 320 \text{ mm}$ se prevede un levier (prelungitor).

Lungimea prelungitorului:

$$L_p = L - L_m + l \quad [\text{mm}] \quad (3.81)$$

în care: $L_m = (0,3 \dots 0,4) \cdot L$;

$l = 50 \dots 80 \text{ mm}$ – lungimea de ghidare a prelungitorului.

Diametrul manivelei (diametrul interior al prelungitorului, dacă este cazul) – se determină din condiția de rezistență la încovoiere față de secțiunea A-A cu relația:

$$d_m \geq \sqrt[3]{\frac{32 \cdot K_n \cdot n \cdot F_m (L_p - L_0)}{\pi \cdot \sigma_{ai}}} \quad [\text{mm}] \quad (3.82)$$

în care: σ_{ai} – tensiunea admisibilă la încovoiere ia valori **100 ... 120 MPa**.

Pentru diametrul manivelei se alege o valoare întreagă mai mare decât cea calculată (**Tabelul 1.1**).

Diametrul exterior al prelungitorului este dat de:

$$d_p = d_m + 2 \cdot g_p \quad (3.83)$$

unde: g_p – grosimea peretelui prelungitorului (sub formă de țevă) – din STAS 530/1.

Valoarea calculată se rotunjește după **STAS 530/1 – Țevi din oțel fără sudură, trase sau laminate la rece (Tabelul 3.2.7)**.

3.7. Proiectarea roții de clichet

3.7.1. Alegerea materialului

În literatura de specialitate, pentru construcția roților de clichet se recomandă *oțel carbon de uz general OL 50, OL 60 (Tabelul 1.21), oțel carbon de calitate OLC 45 (Tabelul 1.22) sau oțel aliat 40 Cr 10 (Tabelul 1.24)*.

3.7.2. Stabilirea formei și dimensiunilor roții de clichet

Forma constructivă pentru roata de clichet este dată din figura 15.

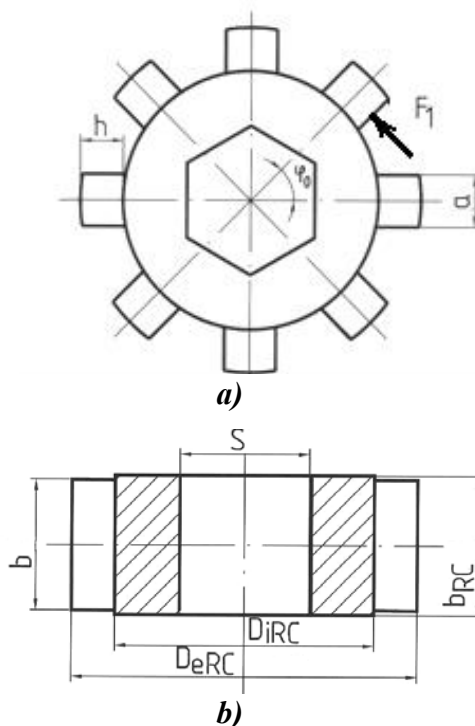


Fig. 15 – Roata de clichet

Dimensiunile se aleg după cum urmează:

- deschiderea locașului hexagonal S – de la șurubul secundar;
- unghiul de rotire $\varphi_0 = 30^0 ; 36^0 ; 45^0$;
- numărul de dinți $z = 360 / \varphi_0$ (3.84)
- pasul danturii – se calculează din condiția de rezistență la încovoiere a dintelui roții de clichet cu relația (3.93).

Cric cu dublă acțiune

Pentru calcul se consideră dintele, cu formă paralelipipedică, solicitat cu o forță F_1 (cu care acționează clichetul pentru crearea momentului M_t de ridicare a sarcinii axiale) aplicată pe vârful dintelui, ca în figura 16a.

$$p \geq 4,79 \cdot \sqrt[3]{\frac{M_t}{z \cdot \psi \cdot \sigma_{ai}}} \quad (3.85)$$

unde: ψ – coeficient de lățime a dintelui cu valori recomandate între **1,5 ... 3**;

$\sigma_{ai} = \frac{R_{p0,2}}{c}$ – rezistența admisibilă la încovoiere calculată cu un coeficient de siguranță $c = 5 \dots 6$.

- *modulul danturii* se determină în funcție de pas:

$$m = \frac{p}{\pi} \quad (3.86)$$

și se adoptă o valoare superioară din șirul STAS 822-82 pentru danturi normale din tabelul 3.4.

Tabelul 3.4

	Valorile modulului m, [mm] pentru Mecanica Generală și Grea conform STAS 822-82
Serie uzuală	1; 1.25; 1,5; 2; 2,5; 3; 4; 5; 6; 8; 10; 12; 16; 20; 25; 32; 40; 50; 60; 80
Seria mai puțin utilizată	1,125; 1,375; 1,75; 2,25; 2,75; 3,5; 4,5; 5,5; 7; 9; 11; 14; 18; 22; 28; 36; 45; 55; 70; 90; 100

- *înălțimea dintelui* $h = m$ [mm] (3.87)

- *grosimea dintelui* $a = 1,3 \cdot m$ [mm] (3.88)

- *lățimea dintelui* $b = \psi \cdot m$ [mm] (3.89)

- *diametrul mediu al danturii:* $D_{m_RC} = m \cdot Z$ [mm] (3.90)

- *diametrul exterior al danturii* $D_{e_RC} = D_{m_RC} + h$ [mm] (3.91)

- *diametrul interior al danturii* $D_{iRC} = D_{eRC} - 2 \cdot h$ [mm] (3.92)

Observații:

1. Pentru funcționarea corectă a sistemului de acționare este necesar ca: $D_{iRC} > d_{II}$ (clichetul să poată împinge fiecare dinte al roții de clichet fără să atingă filetul șurubului secundar care efectuează mișcarea de rotație pentru deplasarea sistemului pe verticală).

2. Dacă: $D_{iRC} \leq d_{II}$ se adoptă un alt modul m cu valoare mai mare, recalculând elementele geometrice ale danturii cu relațiile (3.96)...(3.100).

Pentru dimensionarea corectă se poate considera:

$$D_{iRC} \approx 1,1 \cdot d_{II} \quad \text{sau} \quad D_{iRC} = 2 \cdot l_H + (5 \dots 10) \text{ mm}$$

- *lățimea roții de clichet* $b_{RC} = b + (1 \dots 2) \text{ mm}$.

3.7.3. Verificarea roții de clichet

Deoarece roata de clichet a fost dimensionată constructiv pe baza recomandărilor, sunt necesare următoarele verificări:

- **Verificarea dintelui**

1. **la încovoiere** - tensiunea efectivă de încovoiere a dintelui se determină considerând dintele ca o grindă cu profil paralelipipedic încastrată la un capăt și liberă la celălalt sollicitată de o forță aplicată la capătul liber, ca în figura 16a:

$$\sigma_i = \frac{M_i}{W_{zz}} = \frac{F_1 \cdot h}{\frac{b \cdot a^2}{6}} \quad (3.93)$$

în care: F_1 – forța pe dinte (exercitată de clichet) este dată de:

$$F_1 = \frac{2 \cdot M_t}{D_{m_RC}} \quad (3.94)$$

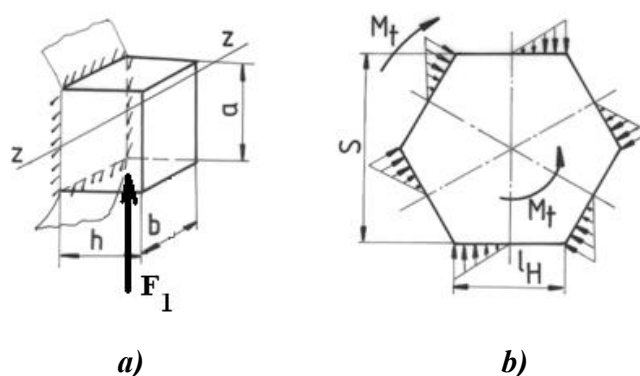


Fig. 16 – Scheme de calcul pentru roata de clichet
a – la încovoiere; b – pe contur poligonal (hexagon)

Condiția care trebuie îndeplinită este: $\sigma_i \leq \sigma_{ai}$, cu σ_{ai} [MPa] adoptat la dimensionarea danturii roții de clichet.

2. **la forfecare** – tensiunea efectivă de forfecare este:

$$\tau_f = \frac{F_1}{A_f} = \frac{F_1}{b \cdot a} \leq \tau_{af} \quad (3.95)$$

Pentru tensiunea admisibilă la forfecare se recomandă valori $\tau_{af} = 80 \dots 100$ MPa.

3. **la contact** – sarcina de contact cu clichetul se calculează cu relația:

$$\sigma_{s_RC} = \frac{F_1}{b \cdot h} \leq \sigma_{as_RC} \quad (3.96)$$

unde tensiunea admisibilă de strivire se consideră: $\sigma_{as_RC} = 100 \dots 120$ [MPa].

• **Verificarea asamblării pe contur hexagonal** – Schema de calcul dată în figura 16, b permite determinarea *tensiunii de strivire pe conturul hexagonal* între roata de clichet și șurubul secundar cu relația:

$$\sigma_{sH} = \frac{2 \cdot M_t}{l_H^2 \cdot b_{RC}} \leq \sigma_{as} \quad (3.97)$$

cu: l_H – latura hexagonului, calculată la dimensionarea șurubului secundar;

b_{RC} – lățimea roții de clichet recalculată după stabilirea lățimii dintelui din condiția de contact cu clichetul: $b_{RC} = b + (1 \dots 2)$ mm.

σ_{as} – tensiunea admisibilă la strivire pe contur poligonal între roata de clichet și șurubul secundar calculată în funcție de limita de curgere a materialului mai slab din îmbinare:

$$\sigma_{as} = 0,8 \cdot R_{p0,2} \quad [\text{MPa}]. \quad (3.98)$$

3.8. Proiectarea asamblării clichetului

3.8.1. Alegerea soluției constructive

Pentru asamblarea clichetului pe suportul de clichet cu care se realizează acțiunea manuală de la manivelă se propune o soluție constructivă (prezentată în figura 14) cu **bolț de montaj** cu capătul filetat.

3.8.2. Stabilirea dimensiunilor elementului de asamblare

Bolțul de montaj este reprezentat în figura 17.

Material: se recomandă **OL 50**, **OL 60** sau **OLC 45** (**Tabelul 1.21**, **Tabelul 1.22**).

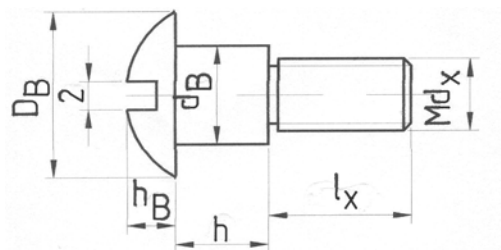


Fig. 17 – Bolț de montaj

Dimensiunile bolțului:

• *diametrul d_B* – se stabilește din condiția de rezistență la forfecare a bolțului (pe baza schemei de încărcare reprezentată în figura 18) dată de relația:

$$\tau_{fB} = \frac{R}{A_{fB}} = \frac{R}{\frac{\pi \cdot d_B^2}{4}} \leq \tau_{af} \quad (3.99)$$

Forța care solicită bolțul este reacțiunea R din articulație, reprezentarea schemei de calcul fiind dată în figura 18b, din care rezultă:

$$R = F_1 \cdot \frac{a_1}{a_2} \quad [\text{N}] \quad (3.100)$$

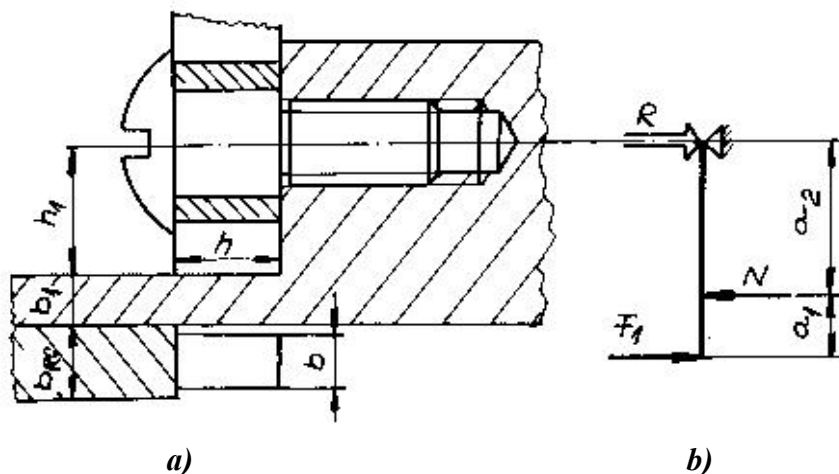


Fig. 18 - Schema de calcul a asamblării cu bolț cilindric

în care mărimile brațelor pârghiei sunt:

$$a_1 = \frac{b_{RC}}{2} + \frac{b_1}{2} \quad [\text{mm}] \quad (3.101)$$

cu: b_1 – grosimea suportului de clichet (adoptată constructiv): $b_1 = 0,5 \cdot b$ [mm]

$$a_2 = e_2 - a_1 \quad [\text{mm}] \quad (3.102)$$

cu: e_2 – jumătate din lungimea clichetului vertical (vezi figura 19).

Observație:

Inițial se adoptă o valoare aproximativă pentru cota $e_2 = 35 \dots 50$ (65) mm.

Din condiția de rezistență (3.99) rezultă:

$$d_{B_calc} \geq \sqrt{\frac{4 \cdot R}{\pi \cdot \tau_{af}}} + 2 \quad [\text{mm}] \quad (3.103)$$

unde: τ_{af} – tensiunea admisibilă de forfecare a bolțului se calculează cu:

$$\tau_{af} = (0,2 \dots 0,3) \cdot R_{p0,2B} \quad [\text{MPa}] \quad (3.104)$$

funcție de limita de curgere $R_{p0,2B}$ a materialului acestuia.

Diametrul calculat se rotunjește la o valoare d_B întregă superioară, după STAS 75 (Tabelul 1.1).

Pentru stabilirea diametrului real (final) pentru bolțul de articulație se realizează **verificarea bolțului** în secțiunile periculoase, pe baza schemei din figura 18.

Verificarea la strivire – tensiunea de strivire a bolțului cu suprafața găurii de trecere din clichet se verifică dacă este:

$$\sigma_{sB} = \frac{R}{d_B \cdot h} \leq \sigma_{as} = 60 \dots 80 \text{ MPa} \quad (3.105)$$

Verificarea la încovoiere – tensiunea de încovoiere a bolțului dată de:

$$\sigma_{iB} = \frac{M_{iB}}{W_{zzB}} = \frac{R \cdot h}{\frac{\pi \cdot d_B^3}{16}} \quad (3.106)$$

trebuie să îndeplinească inegalitatea: $\sigma_{iB} \leq \sigma_{ai} = 100 \dots 120$ MPa.

Observație:

După verificarea bolțului care formează articulația pentru montarea clichetului se stabilesc dimensiunile finale pentru *diametrul standard al bolțului* d_B și cota e_2 de la clichet, folosind relația (3.111).

- înălțimea h – de la roata de clichet și clichet;
- diametrul filetului de fixare: $d_x < d_B - (1 \dots 2)$ mm;
- lungimea filetului: $l_x = 10 \dots 15$ mm;
- diametrul capului: $D_B = (1,5 \dots 1,7) \cdot d_B$ [mm];
- înălțimea capului: h_B – se alege constructiv.

Dimensiunile pentru montarea clichetului în suportul de clichet (vezi figurile 18 și 14) se stabilesc în funcție de dimensiunile roții de clichet proiectată anterior și construcția elementului de asamblare (figura 17):

- $h_1 = \frac{D_B}{2} + (2 \dots 5)$ mm (3.107)

- $L_1 = \left(\frac{D_{eRC}}{2} - R_1 \cdot \sin \varphi_0 \right) \cdot \frac{1}{\cos \varphi_0}$ (3.108)

3.9. Proiectarea clichetului vertical

Realizarea rotirii ansamblului format din șurubul secundar și șurubul principal pentru deplasarea sarcinii de ridicare se face cu ajutorul unui clichet vertical montat pe un bolț special în suportul de clichet (vezi figura 14).

3.9.1. Alegerea materialului

Pentru realizarea clichetului se recomandă utilizarea următoarelor categorii de materiale: oțel laminat **OL 60 (Tabelul 1.21)**, oțel laminat de calitate **OLC 45, OLC 60 (Tabelul 1.22)** sau oțel aliat **40 Cr 10 (Tabelul 1.24)** sub formă de tablă.

3.9.2. Stabilirea formei constructive și dimensiunilor

În figura 19a este reprezentată geometria clichetului vertical.

Dimensiuni pentru construcția clichetului vertical:

- înălțimea dintelui h – de la roata de clichet;
- grosimea dintelui a – de la roata de clichet;

- unghiul de rotire φ_0 – de la roata de clichet;
- $L_x = \frac{D_{eRC}}{2} - x$ cu: $x = \frac{a}{2 \cdot \operatorname{tg} \varphi_0}$ [mm] (3.109)
- $e_1 = L_x \cdot \sin \varphi_0$ [mm] (3.110)
- $e_2 = h_1 + b_1 + \frac{b + b_{RC}}{2}$ [mm] (3.111)
- $L_1^* = L_1 - y$ cu: $y = \frac{a}{2 \cdot \sin \varphi_0}$ [mm] (3.111)

în care: h_1, b_1 – stabilite la dimensiunile de montaj ale bolțului pentru clichet (vezi cap. 3.8.2);

b, b_{RC} – de la roata de clichet;

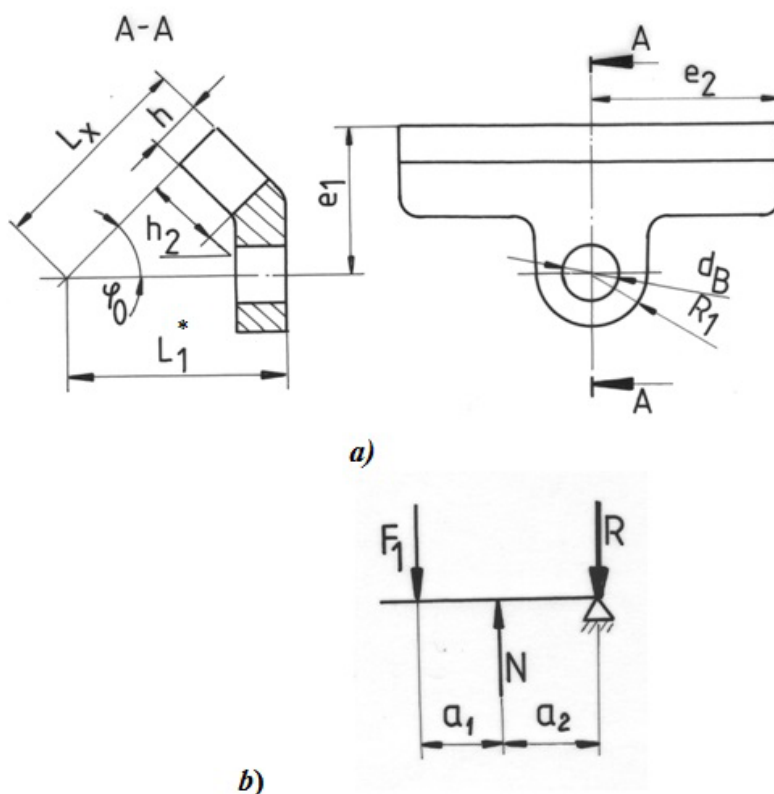


Fig. 19 – Clichet vertical
a – forma constructivă; b – schema de calcul

• lungimea dintelui h_2 – se determină din condiția de rezistență la încovoiere a dintelui clichetului sub acțiunea forței F_1 (reacțiunea roții de clichet față de clichet), folosind schema de încărcare reprezentată în figura 19b, scrisă sub forma:

$$\sigma_{iC} = \frac{M_{iC}}{W_{zzC}} = \frac{F_1 \cdot a_1}{\frac{h \cdot h_2^2}{6}} \leq \sigma_{ai} \quad (3.112)$$

din care rezultă:

$$h_2 \geq \sqrt{\frac{6 \cdot F_1 \cdot a_1}{h \cdot \sigma_{ai_C}}} \quad [\text{mm}] \quad (3.113)$$

cu: σ_{ai_C} - rezistența admisibilă la încovoiere a materialului clichetului, calculată ca la roata de clichet;

a_1 - brațul pârghiei, dat de relația (3.101).

- diametrul găurii pentru bolț d_B - se adoptă după dimensionarea bolțului;
- raza de racordare $R_1 = d_B$ [mm]

3.9.3. Verificarea clichetului

Deoarece dimensionarea lungimii dintelui clichetului a fost făcută din condiția de rezistență la încovoiere, nu mai este necesară verificarea.

3.10. Proiectarea suportului pentru clichet

3.10.1. Alegerea materialului

Având în vedere forma piesei (figura 20) care se poate realiza în condiții de productivitate mare numai prin forjare în matriță sau inelul prin ștanțare la rece și manivela de acționare sudată de acesta, se recomandă **OL 37**, **OL42**, respectiv **OL 37**, **OL 52-2K**.

3.10.2. Stabilirea formei constructive și dimensiunilor

În figura 20 este reprezentat suportul 1 în care se fixează clichetul și prelungitorul 2 montat de manivelă pentru acționarea manuală.

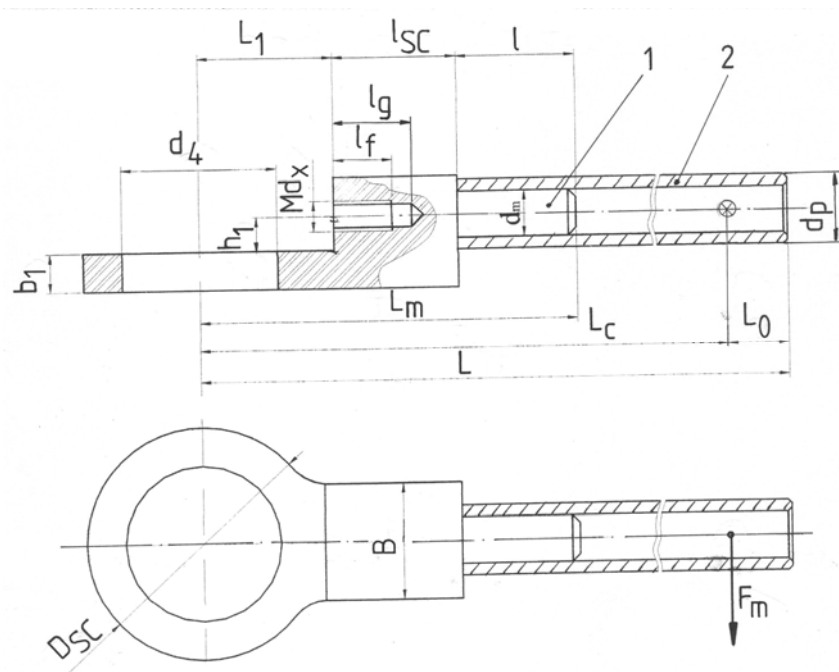


Fig. 20 - Suport de clichet

Dimensiunile suportului se aleg constructiv, urmând să se facă verificări acolo unde este necesar, astfel:

- *diametrul interior al inelului:* d_4 – de la șurubul secundar;
- *diametrul exterior al inelului:* $D_{SC} = D_{iRC} - (10 \dots 15)$ mm; cu diametrul D_{iRC} – de la roata de clichet;
- *grosimea suportului:* b_1 – de la dimensiunile de montare a clichetului;
- *înălțimea pentru asamblarea cu bolț:* h_1 – de la dimensiunile de montare ale clichetului;
- *distanța până la peretele interior al suportului:* L_1 – de la dimensiunile de montare a clichetului;
- *lungimea suportului:*

$$l_{SC} = L_m - (L_1 + l) \quad (3.114)$$

cu lungimile L_m și l stabilite la proiectarea manivelei (vezi 3.6.2);

- *lățimea suportului:* B – se adoptă constructiv $B = d_p + (2 \dots 5)$ mm
- *filetul metric* pentru fixarea bolțului – se alege după dimensiunea d_x stabilită la bolț;
- *lungimea filetului* l_f – se adoptă constructiv, mai mare decât l_x de la bolț;
- *adâncimea găurii nefiletate:* $l_g = l_f + (2 \dots 5)$ mm.

3.10.3. Verificarea suportului de clichet

Suportul de clichet se verifică la efort compus în secțiunea X–X, datorită solicitărilor de:

- *răsucire* cu momentul $M_r = F_m \cdot a_2$ (3.115)

- *încovoiere* cu momentul $M_i = F_m \cdot (L_c - L_1)$ (3.116)

Tensiunea echivalentă este: $\sigma_{ech_SC} = \sqrt{\sigma_i^2 + 3 \cdot \tau_r^2}$ (3.117)

Tensiunea de încovoiere: $\sigma_i = \frac{M_i}{W_{zz}} = \frac{M_i}{\frac{b_1 \cdot B^2}{6}}$ (3.118)

Tensiunea de răsucire: $\tau_r = \gamma \cdot \frac{M_r}{W_p}$ (3.119)

în care modulul de rezistență polar este dat de:

$$W_p = \alpha \cdot B \cdot b_1^2 \quad (3.120)$$

Coeficienții din relațiile anterioare se stabilesc astfel:

$\gamma = 1$	$\alpha = 0,208$	pentru $B / b_1 = 1$
$\gamma = 0,859$	$\alpha = 0,231$	pentru $B / b_1 = 1,5$
$\gamma = 0,795$	$\alpha = 0,246$	pentru $B / b_1 = 2$

Pentru verificare trebuie satisfăcută inegalitatea: $\sigma_{echSC} \leq \sigma_{ai} = \frac{R_{p0,2}}{c}$ în care se adoptă coeficientul de siguranță: $c = 1,5 \dots 3$.

Obținerea celor două variații ale coeficientului α (figura 3.21) și coeficientului γ (figura 3.22) pentru diverse valori ale raportului B/b_1 a fost realizată prin extrapolarea valorilor experimentale folosind notațiile: $\text{rap_1} = B/b_1$, respectiv $\alpha_1 = \alpha$.

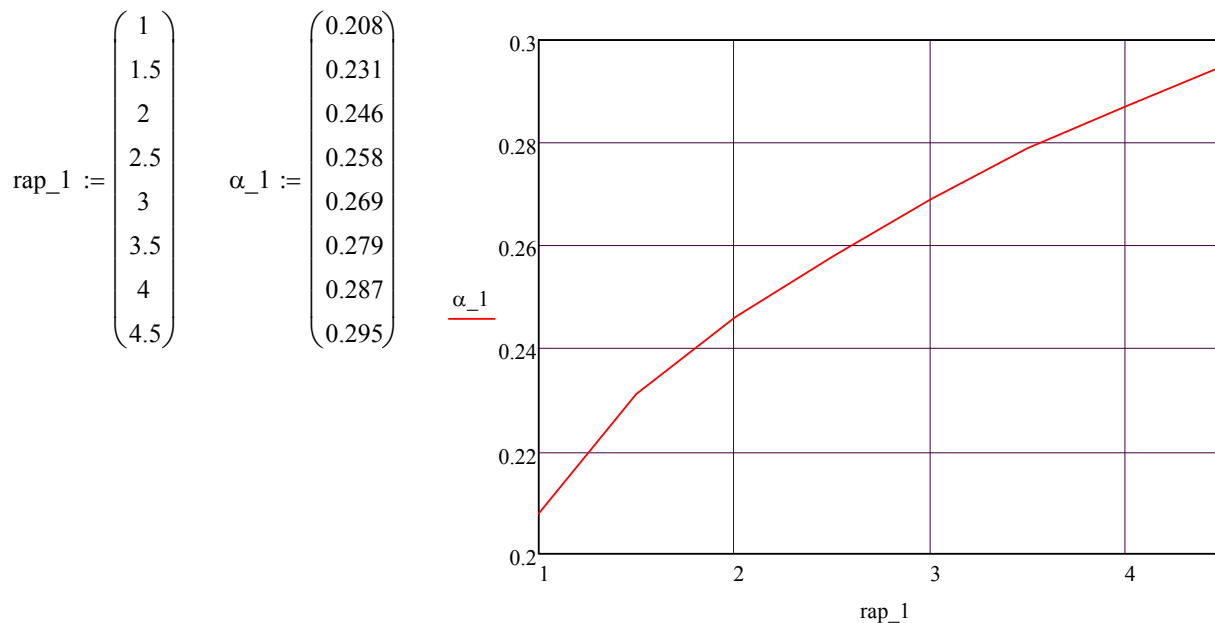


Fig. 3.21 – Variația coeficientului α

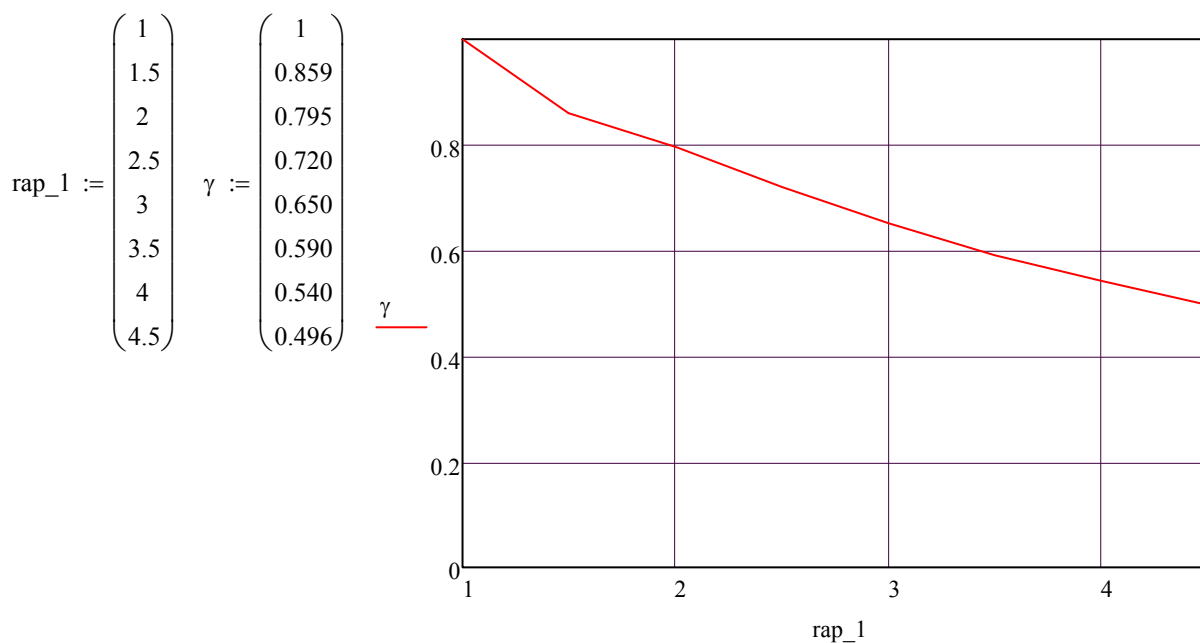


Fig. 3.22 – Variația coeficientului γ